

Chaire Atomes et rayonnement

Cours 2021-22

Jean Dalibard



COLLÈGE
DE FRANCE
—1530—

Prochains séminaires

Vendredi 1 avril : Anna Minguzzi, LPMMC, CNRS and Université Grenoble-Alpes
Tan contact in one-dimensional quantum gases

Vendredi 8 avril : Atac Imamoglu, Institute for Quantum Electronics, ETH Zürich, Suisse
Strongly correlated electrons in atomically thin semiconductors

Vendredi 15 avril : Leticia Tarruell, ICFO - The Institute of Photonic Sciences, Barcelone, Espagne
Realizing a one-dimensional topological gauge theory in an optically dressed Bose-Einstein condensate

Vendredi 15 avril, 14h00-18h00 : atelier “**New trends in quantum fluid physics: mixtures and spinor gases**”

Intervenants :

Bruno Laburthe-Tolra, Lauriane Chomaz, Goulven Quemener, Jérôme Beugnon, Thomas Bourdel, Alessandro Zenesini

Les interactions entre atomes dans les gaz quantiques

Cours 4

L'état fondamental du gaz de Bose : LHY, spectre d'excitation et gouttelettes quantiques

Jean Dalibard
Chaire *Atomes et rayonnement*
Année 2021-22

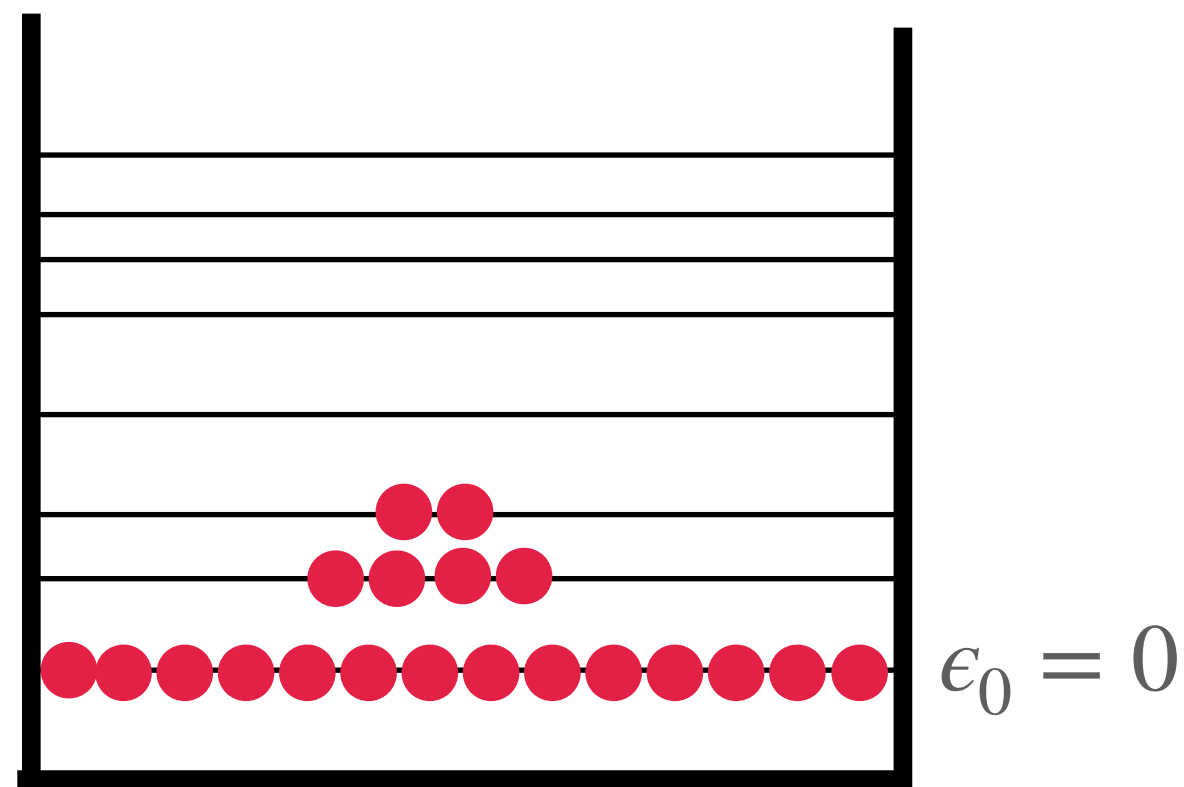


COLLÈGE
DE FRANCE
—1530—

Bilan des cours précédents

Etude de l'état fondamental d'un gaz de Bose de densité n en présence d'interactions binaires $\sum_{i<j} V(r_{ij})$

Approche de Bogoliubov menée en supposant une faible déplétion de l'état $k = 0$



→ Hamiltonien quadratique en a_k^\dagger, a_k pour $k \neq 0$

Valable pour une déplétion quantique $\frac{n'}{n} = \frac{N - N_0}{N} \ll 1$

Nous avons trouvé $\frac{n'}{n} \approx \frac{8}{3\sqrt{\pi}} \sqrt{na^3}$

a : longueur de diffusion

Energie de l'état fondamental (Lee-Huang-Yang, 1957) : $\frac{E_0}{L^3} = \frac{1}{2}gn^2 \left[1 + \alpha\sqrt{na^3} + \dots \right]$

$$\alpha = \frac{128}{15\sqrt{\pi}} \approx 4.81$$

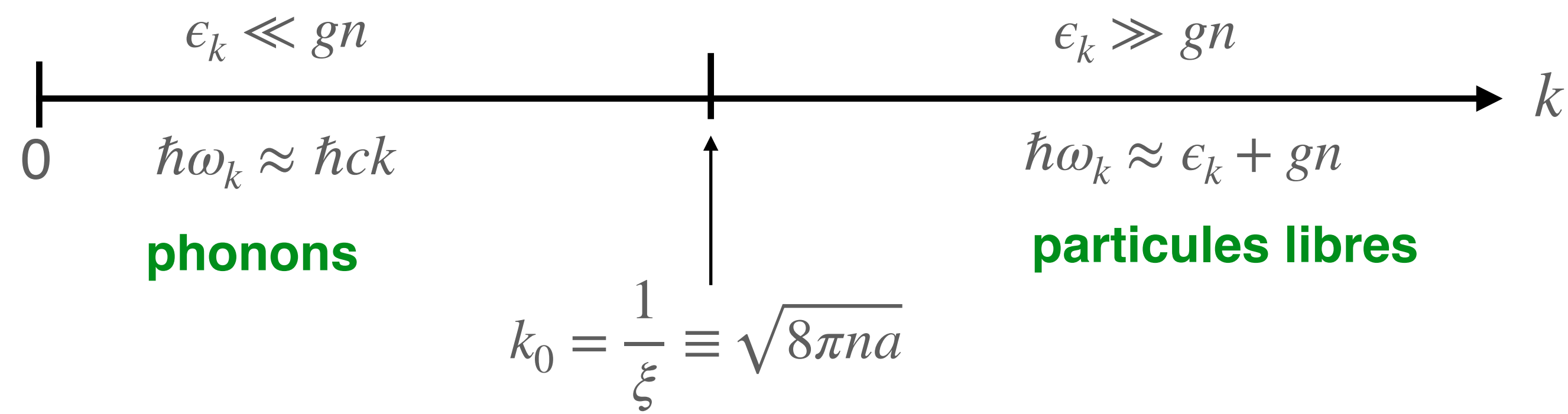
$$g = \frac{4\pi\hbar^2 a}{m}$$

champ moyen + fluctuations quantiques

Bilan (suite) : Le spectre d'excitation

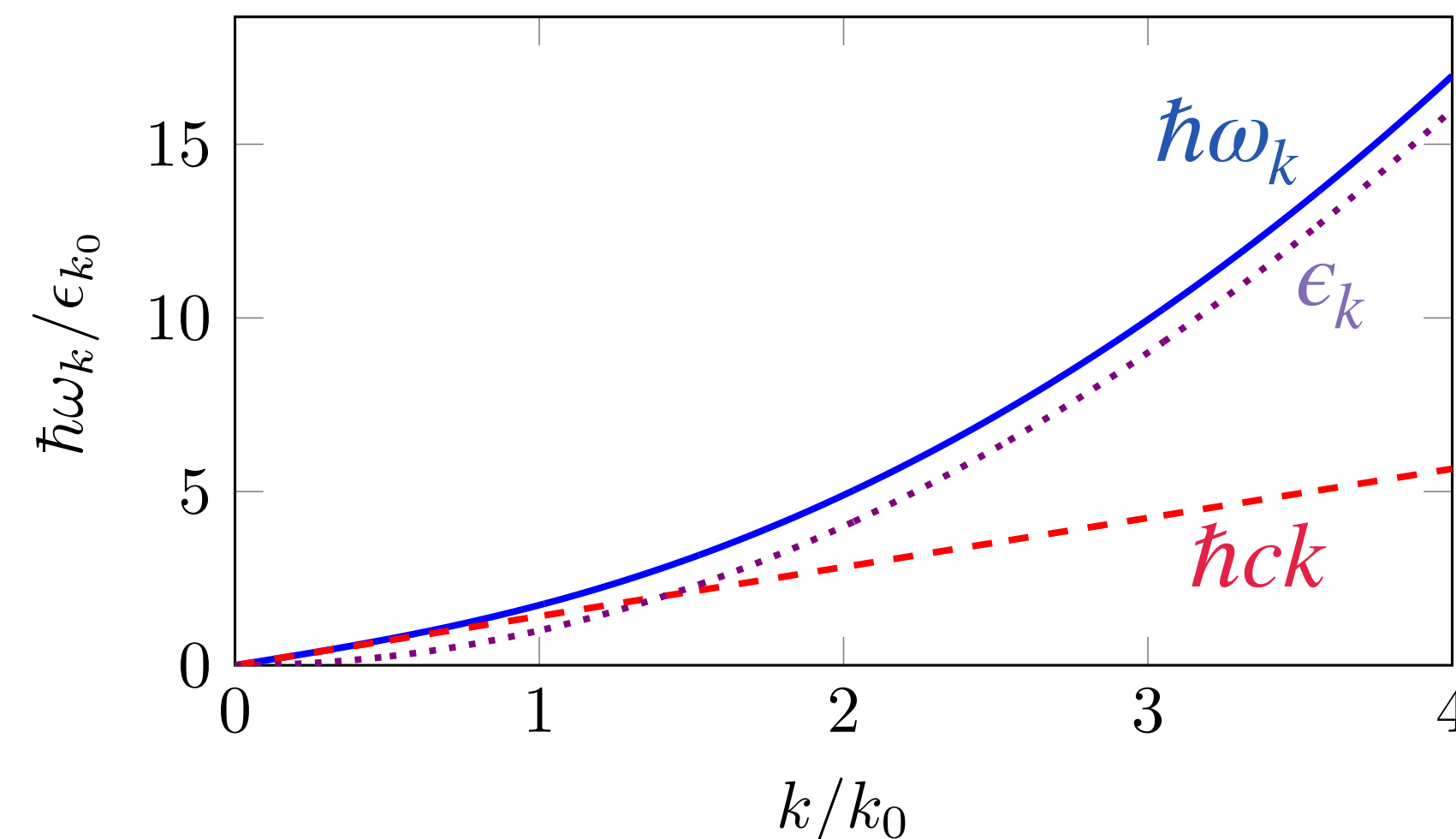
$$\hat{H}'' = E_0 + \sum_{k \neq 0} \hbar \omega_k b_k^\dagger b_k$$

Relation de dispersion des excitations de Bogoliubov : $\hbar \omega_k = \left[\epsilon_k (\epsilon_k + 2ng) \right]^{1/2}$ avec $\epsilon_k = \frac{\hbar^2 k^2}{2m}$



$$\frac{a}{\xi} = \sqrt{8\pi n a^3} \ll 1 \quad \Rightarrow \quad \frac{1}{\xi} \ll \frac{1}{a}$$

Typiquement, $\xi \sim 500$ nm, $a \sim 5$ nm



Plan du cours

1. Mesures de l'énergie de Lee-Huang-Yang

Le problème des pertes à trois corps, mode de respiration et équation d'état

2. Le spectre d'excitation d'un condensat

Le régime "habituel" $ka \ll 1$: phonons vs. particule libre

Le régime $ka \sim 1$: un problème encore ouvert ...

3. Les gouttelettes quantiques

Comment rendre l'énergie LHY dominante tout en restant à basse densité ?

Le problème des pertes à trois corps

$$\frac{E_0}{L^3} = \frac{1}{2}gn^2 \left[1 + \alpha\sqrt{na^3} + \dots \right]$$
$$\alpha = 128/15\sqrt{\pi}$$

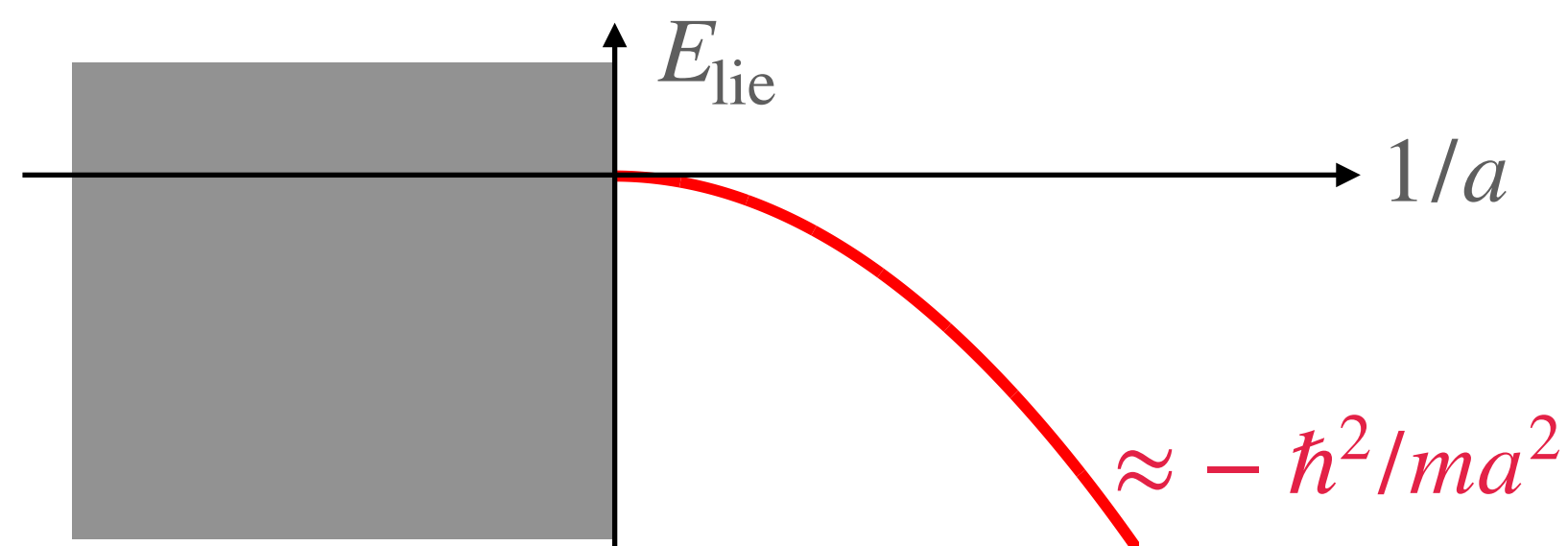
Pour observer les effets au delà du champ moyen, on a intérêt à prendre na^3 pas trop petit

Utilisation d'une résonance de Fano-Feshbach pour augmenter a

On doit par ailleurs choisir $a > 0$ pour avoir un condensat stable

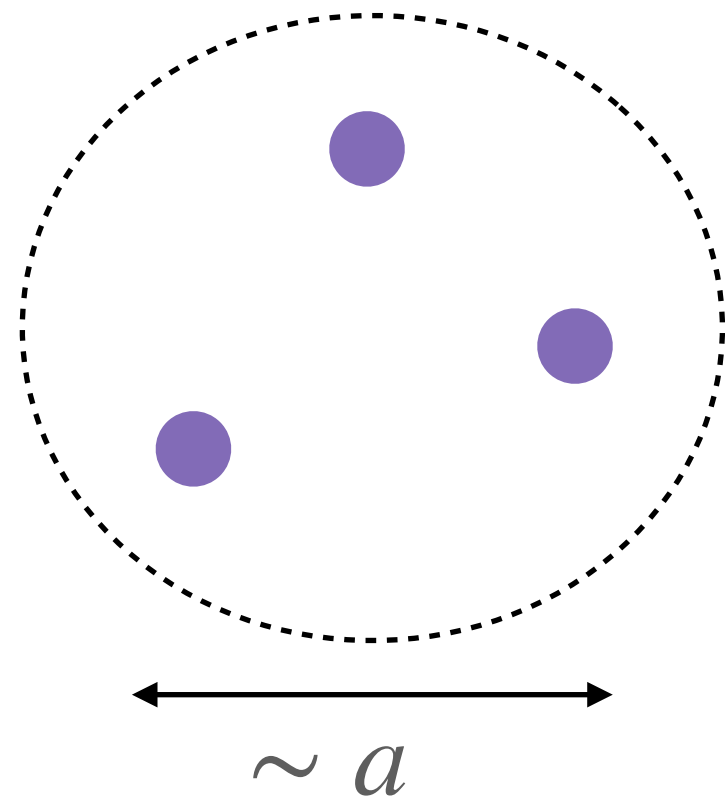
Si $a < 0$, le terme de champ moyen $\frac{g}{2} \frac{N^2}{L^3}$ tend à faire "effondrer" le gaz sur lui-même ("Bose nova")

On sait qu'on a dans ce cas un dimère de grande extension ($\sim a$) et faiblement lié



Une fois ce dimère formé via une collision à trois corps, il peut relaxer vers des états liés plus profonds

Contrainte sur la densité



Formation du dimère possible si 3 atomes sont à une distance $\lesssim a$

Taux de pertes : $\frac{dN}{dt} = -L_3 n^2 N$ $L_3 \approx 3.9 \frac{\hbar a^4}{m}$ *Fedichev et al.*

Pour que l'expérience se fasse à densité \approx constante, il faut limiter la durée τ de l'expérience :

$$\frac{dN}{dt} \times \tau \ll N \quad \tau \ll \frac{1}{L_3 n^2}$$

Il faut par ailleurs que le condensat atteigne son état d'équilibre : $\tau > \frac{\hbar}{\mu} \approx \frac{\hbar}{gn}$

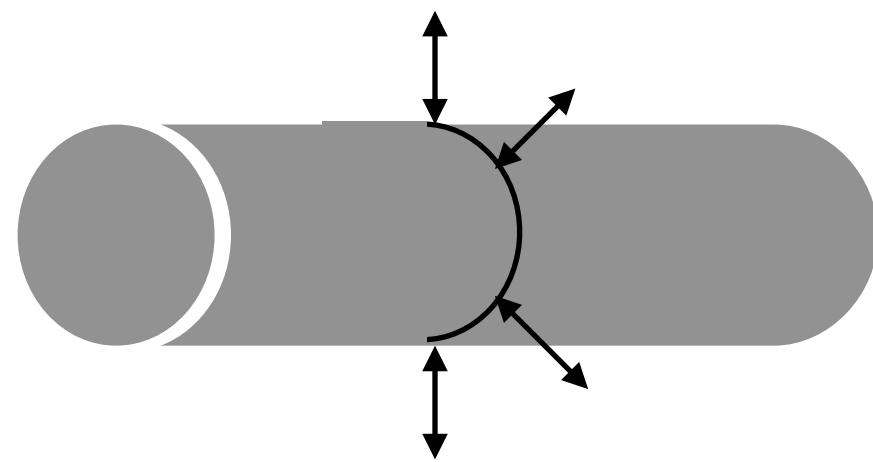
$$\frac{\hbar}{gn} \ll \frac{1}{L_3 n^2} \quad \longrightarrow \quad na^3 \ll 1$$

A basse température, on ne peut produire un gaz de Bose à l'équilibre que dans le régime d'interaction faible

Une première approche de E_{LHY}

$$\frac{E_0}{L^3} = \frac{1}{2}gn^2 \left[1 + \alpha\sqrt{na^3} + \dots \right]$$
$$\alpha = 128/15\sqrt{\pi}$$

Mode de respiration avec un confinement harmonique transverse isotrope de pulsation ω



géométrie "cigare"

Traitement "champ moyen" avec $\mu = gn$

$$i\hbar\frac{\partial\psi}{\partial t} = -\frac{\hbar^2}{2m}\nabla^2\psi + gN|\psi|^2\psi + \frac{1}{2}m\omega^2r^2\psi$$

On prédit que la fréquence du mode de respiration est $\omega_{\text{resp.}} = 2\omega$

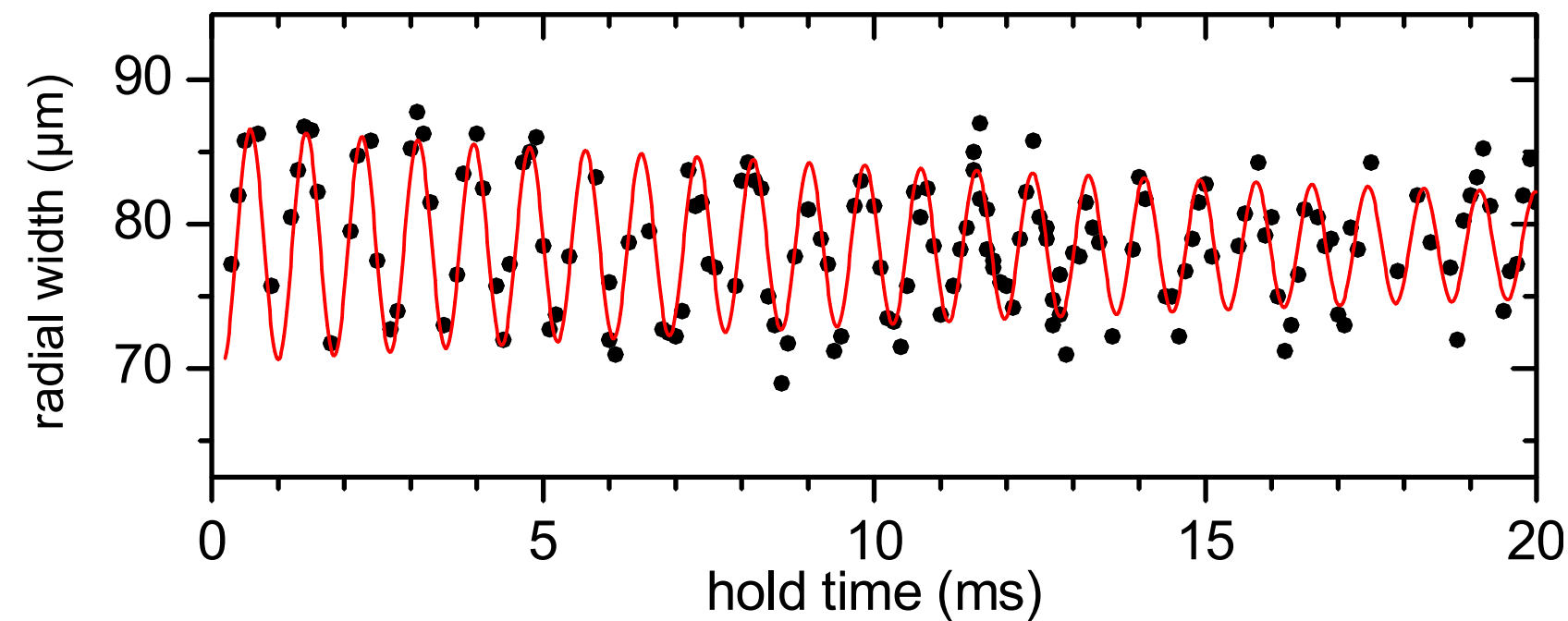
Pitaevskii & Rosch
Chevy, Bretin *et al.*

Une déviation par rapport à cette prédiction pour un gaz de bosons peut être la signature d'une contribution au delà du champ moyen

L'expérience d'Innsbruck : bosons "composites"

Altmeyer, Riedl *et al.*, PRL **98** 040401 (2007)

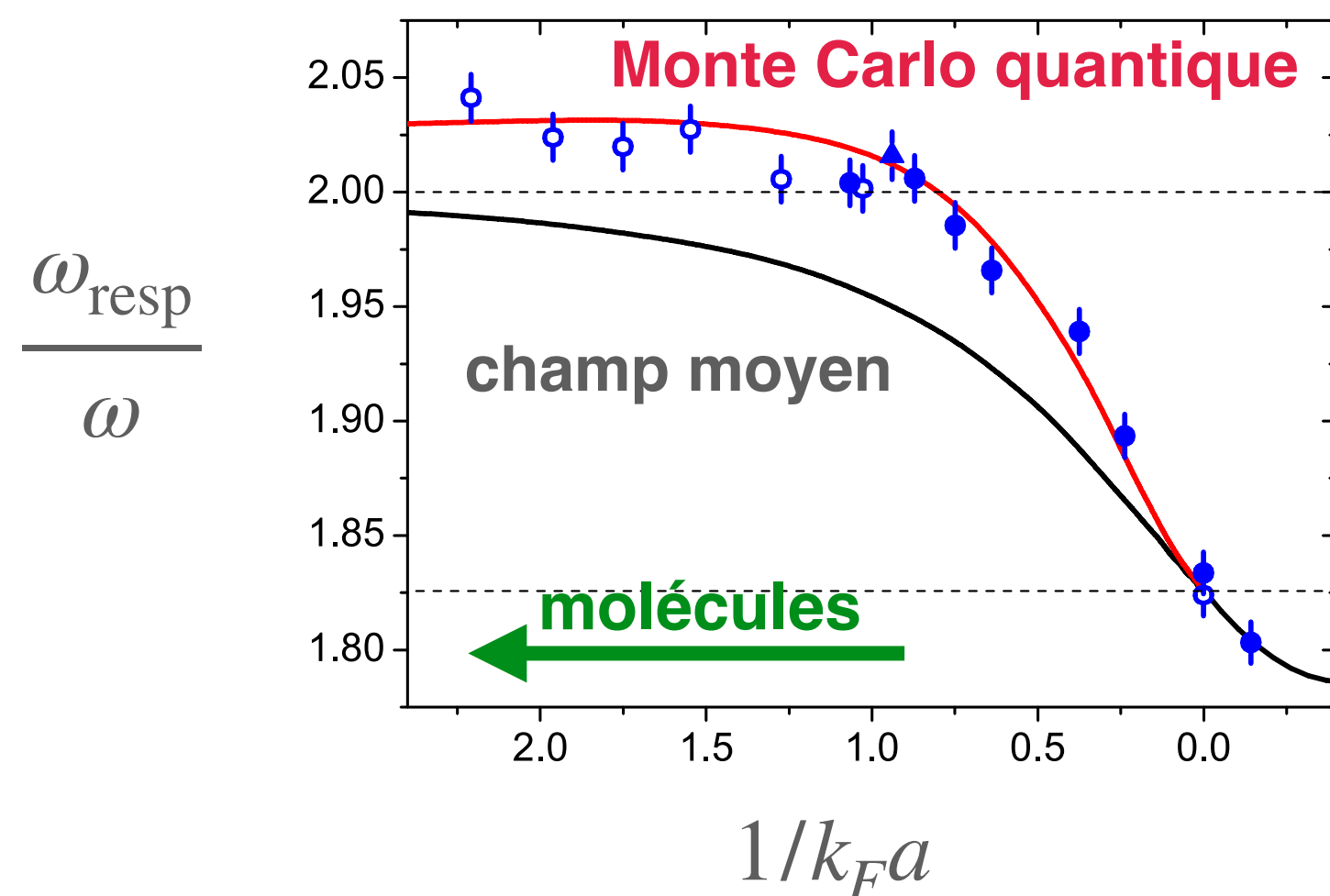
Gaz de fermions (${}^6\text{Li}$) sur la partie "moléculaire" d'une résonance de Feshbach $\longrightarrow \approx {}^6\text{Li}_2$ (dimère bosonique)



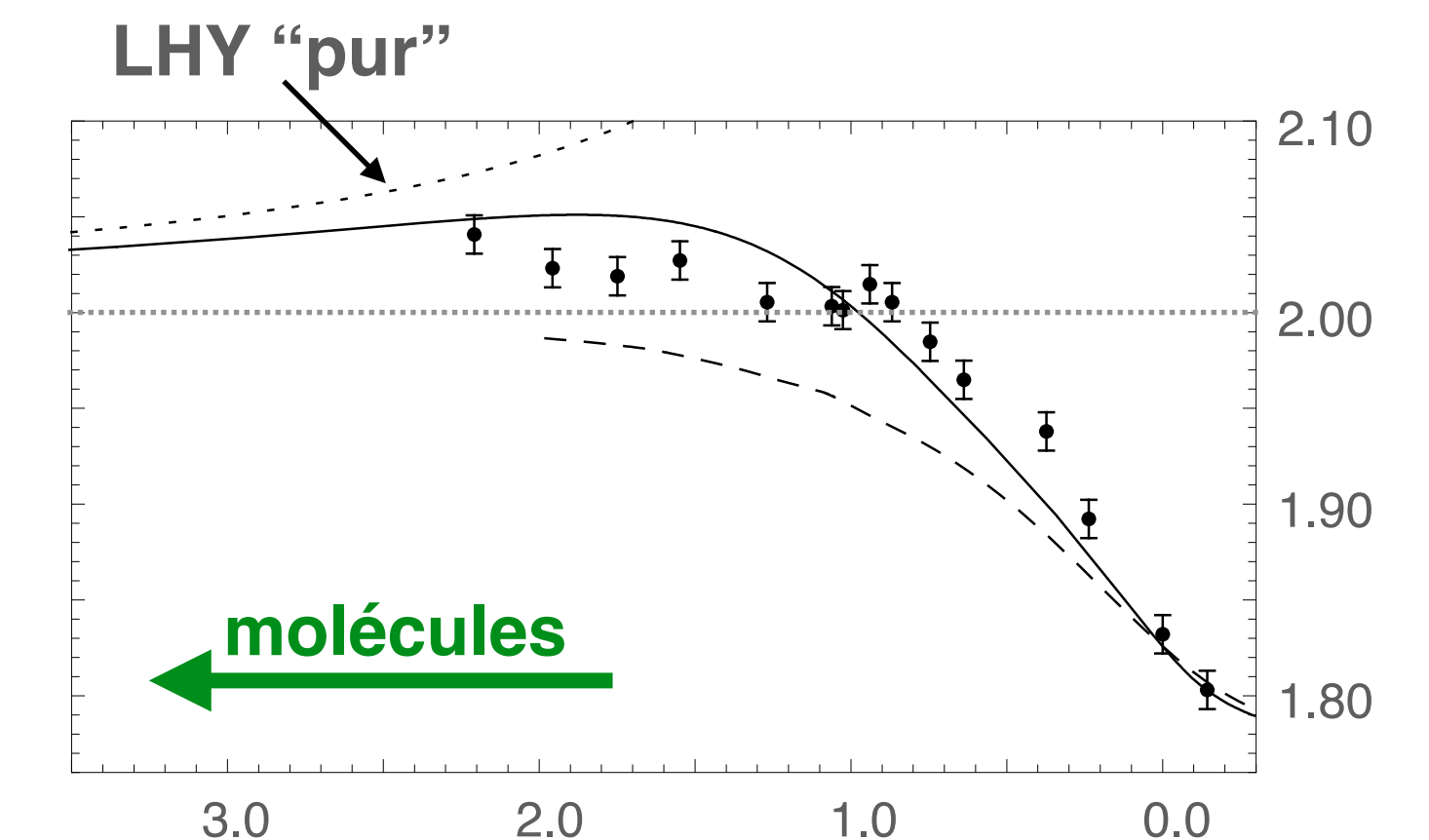
Ici $\frac{\omega}{2\pi} = 1185 \text{ Hz}$

précision 10^{-3}

Analyse des résultats



Déviaton claire par rapport au champ moyen :
 $\omega_{\text{resp}} > 2\omega$
 mais est-ce dû à LHY ?



extrait de la thèse de S. Nascimbene
 (calculé d'après S. Stringari)

Détermination de l'équation d'état

$$\frac{E_0}{L^3} = \frac{1}{2}gn^2 \left[1 + \alpha\sqrt{na^3} + \dots \right]$$

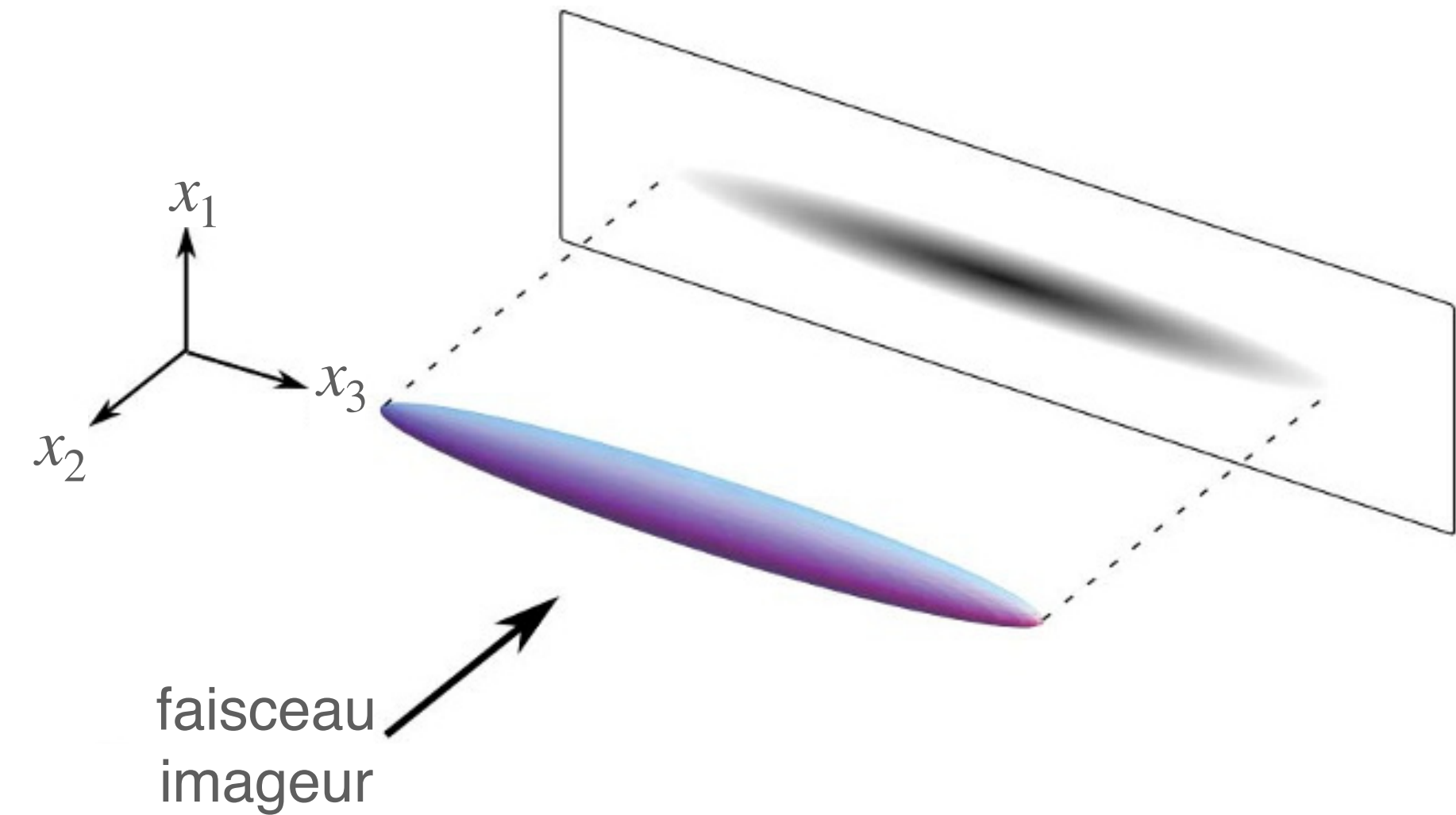
$$\alpha = 128/15\sqrt{\pi}$$

Rappel du cours 1 : la mesure de

$$\bar{n}(x_3) = \int_0^\infty n(x_1, x_2, x_3) dx_1 dx_2$$

donne accès à la pression $\bar{n}(x_3) = \frac{2\pi}{\omega^2} P[T, \mu(x_3)]$

On est ici à température nulle : $P(\mu)$



$$P = - \left(\frac{\partial E}{\partial L^3} \right)_{S,N} = \frac{1}{2}gn^2 \left(1 + \frac{3}{2}\alpha\sqrt{na^3} + \dots \right)$$

$$\mu = \left(\frac{\partial E}{\partial N} \right)_{S,L^3} = gn \left(1 + \frac{5}{2}\alpha\sqrt{na^3} + \dots \right)$$

élimination
de n

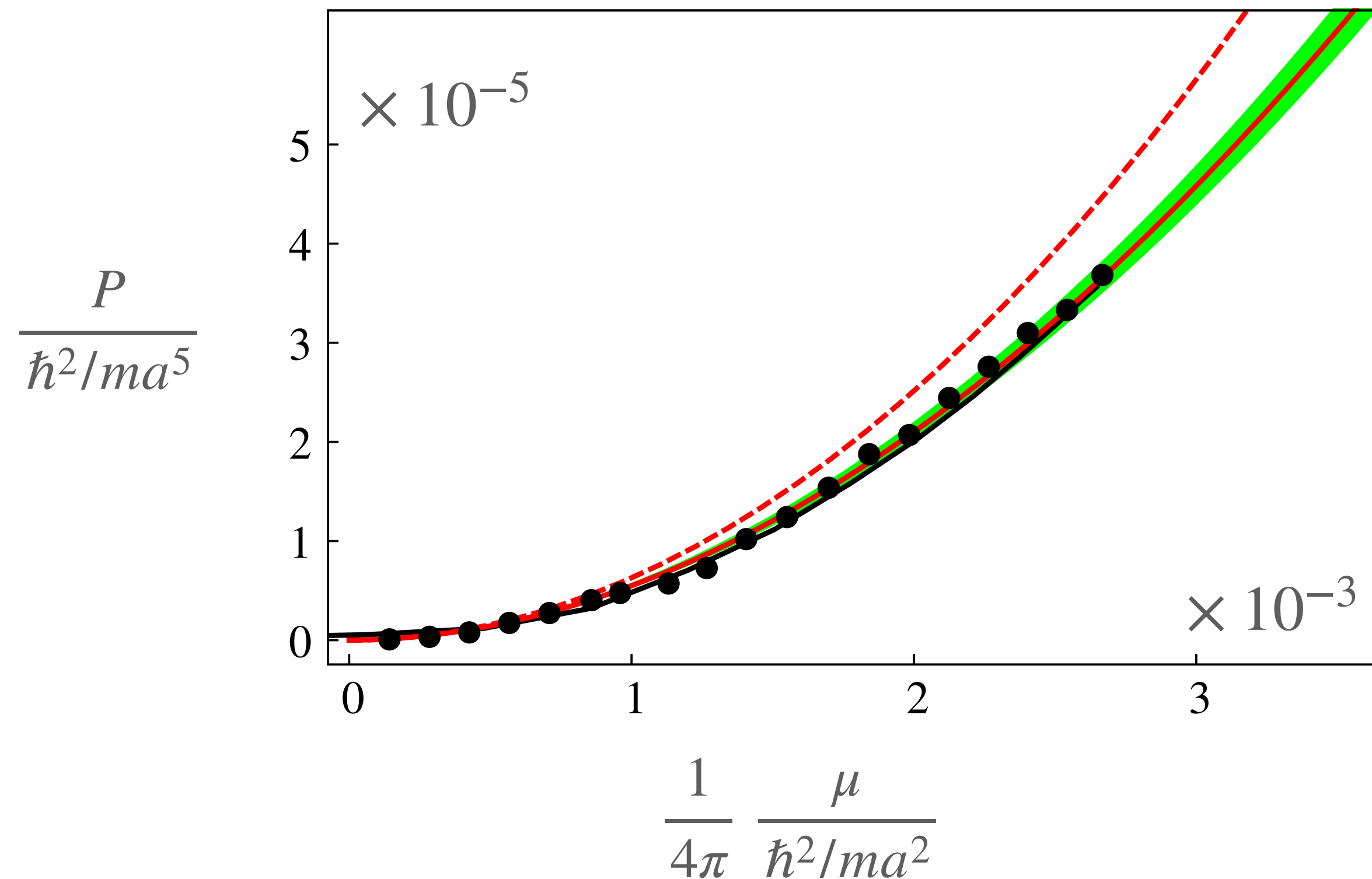
$$P = \frac{\mu^2}{2g} \left(1 - \alpha\sqrt{\mu a^3/g} \right)$$

Mesure de l'équation d'état

$$P = \frac{\mu^2}{2g} \left(1 - \alpha \sqrt{\mu a^3 / g} \right)$$

Gaz de ^7Li (bosons) préparé avec une longueur de diffusion “modeste”, $a \simeq 10$ nm, puis augmentée adiabatiquement grâce à une résonance de Fano-Feshbach (30 à 100 nm)

Navon, Piatecki et al., PRL **107** 135301



----- : champ moyen $P = \mu^2 / 2g$

— : Monte Carlo quantique

— : LHY

$$\alpha_{\text{fit}} = 4.5(7)$$

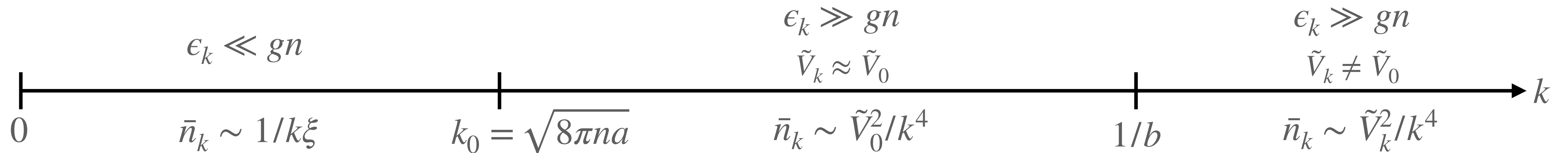
$$\alpha_{\text{LHY}} = \frac{128}{15\sqrt{\pi}} = 4.81\dots$$

Energie cinétique d'un condensat

Rappel : population moyenne d'un état d'impulsion $\hbar k$

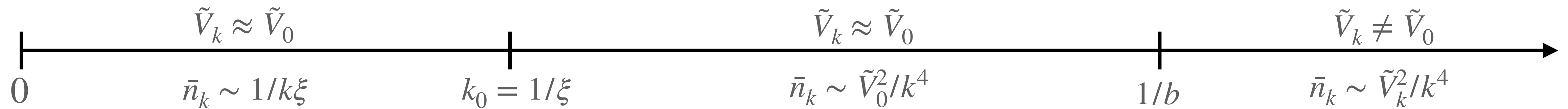
$$\bar{n}_k = |v_k|^2 = \frac{1}{2} \left[\frac{\epsilon_k + n\tilde{V}_k}{\sqrt{\epsilon_k^2 + 2n\tilde{V}_k\epsilon_k}} - 1 \right]$$

$$E_{\text{cin}} = \int \frac{\hbar^2 k^2}{2m} \bar{n}_k d^3k$$



Energie cinétique (2)

$$E_{\text{cin}} = \int \frac{\hbar^2 k^2}{2m} \bar{n}_k d^3k$$



$$\int_0^{k_0} \frac{\hbar^2 k^2}{2m} \frac{1}{k\xi} 4\pi k^2 dk$$

converge en $k = 0$

$$\tilde{V}_0^2 \int_{k_0}^{1/b} \frac{\hbar^2 k^2}{2m} \frac{1}{k^4} 4\pi k^2 dk$$

intégrande constante

$$\int_{k_0}^{1/b} \frac{\hbar^2 k^2}{2m} \frac{\tilde{V}_k^2}{k^4} 4\pi k^2 dk$$

converge si \tilde{V}_k
décroît assez vite

Pour le pseudo-potentiel, $1/b = +\infty$: l'énergie cinétique diverge !

$$E_{\text{LHY}} = E_{\text{cin}} + E_{\text{int}}$$

\uparrow \uparrow
 $+\infty$ $-\infty$

La prise en compte de la portée finie du potentiel est indispensable pour donner un sens à chacune des deux contributions

Plan du cours

1. Mesures de l'énergie de Lee-Huang-Yang

Le problème des pertes à trois corps, mode de respiration et équation d'état

2. Le spectre d'excitation d'un condensat

Le régime "habituel" $ka \ll 1$: phonons vs. particule libre

Le régime $ka \sim 1$: un problème encore ouvert ...

3. Les gouttelettes quantiques

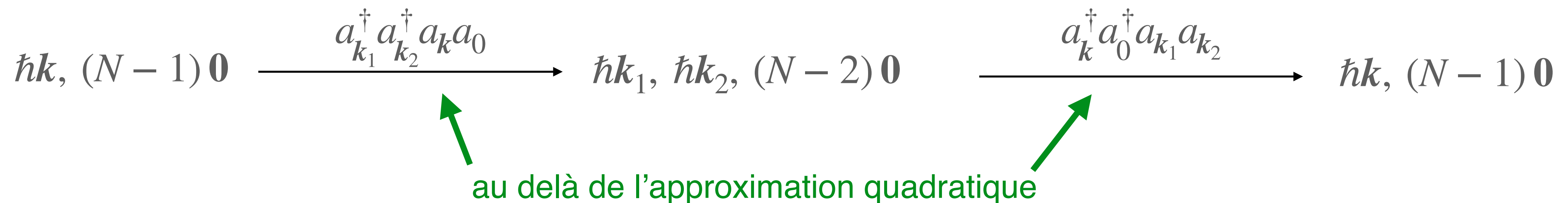
Comment rendre l'énergie LHY dominante tout en restant à basse densité ?

Spectre d'excitation et développement de Born

On se limite pour l'instant aux domaines 1 et 2 : $k \ll 1/b$, c'est-à-dire $\tilde{V}_k \approx \tilde{V}_0$

Pour un potentiel régulier à l'approximation de Born : $\hbar\omega_k = \left[\epsilon_k (\epsilon_k + 2n\tilde{V}_0) \right]^{1/2}$

Beliaev : pour remplacer \tilde{V}_0 par $g = 4\pi\hbar^2 a/m$, il faut décrire plus précisément l'interaction entre l'atome d'impulsion $\hbar k$ et les atomes du condensat, d'impulsion nulle



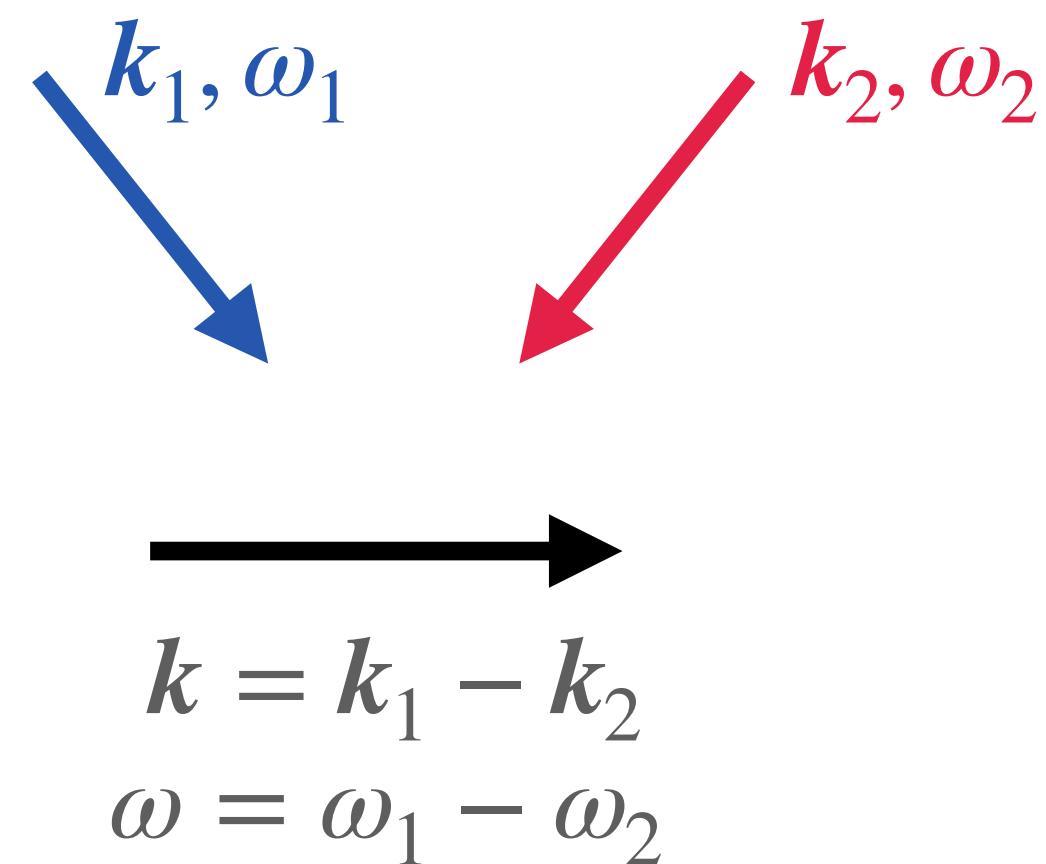
Une fois ces processus resommés, on fait apparaître l'amplitude de diffusion $f(k_r)$ avec $k_r = k/2$

A basse énergie ($k \ll 1/b, 1/a$), on a alors : $f(k_r) = -a$

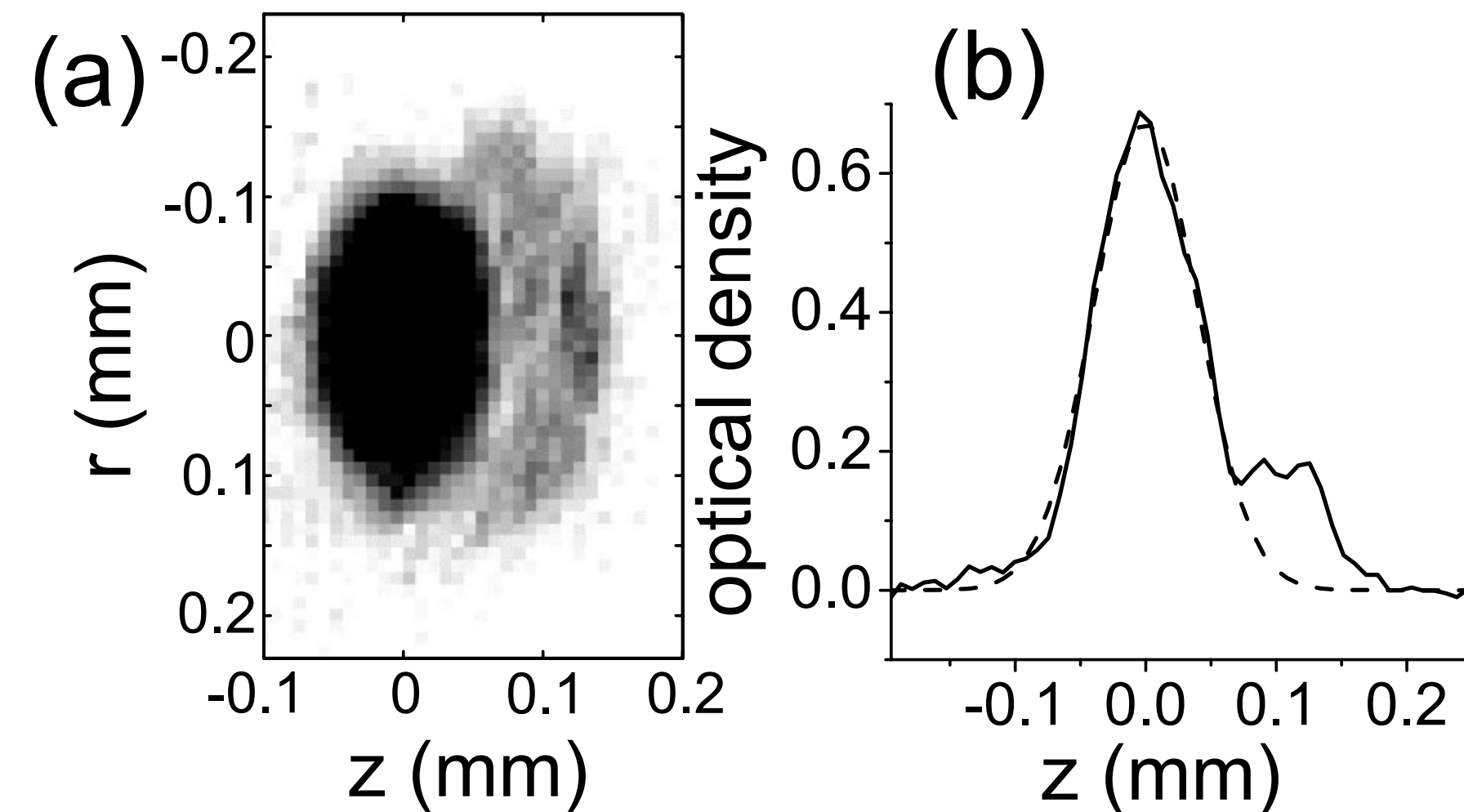
Mesure du spectre de Bogoliubov : Weizmann (2002)

Utilisation de la diffraction de Bragg : absorption - émission stimulée

Condensat de rubidium, $\xi \approx 0.25 \mu\text{m}$



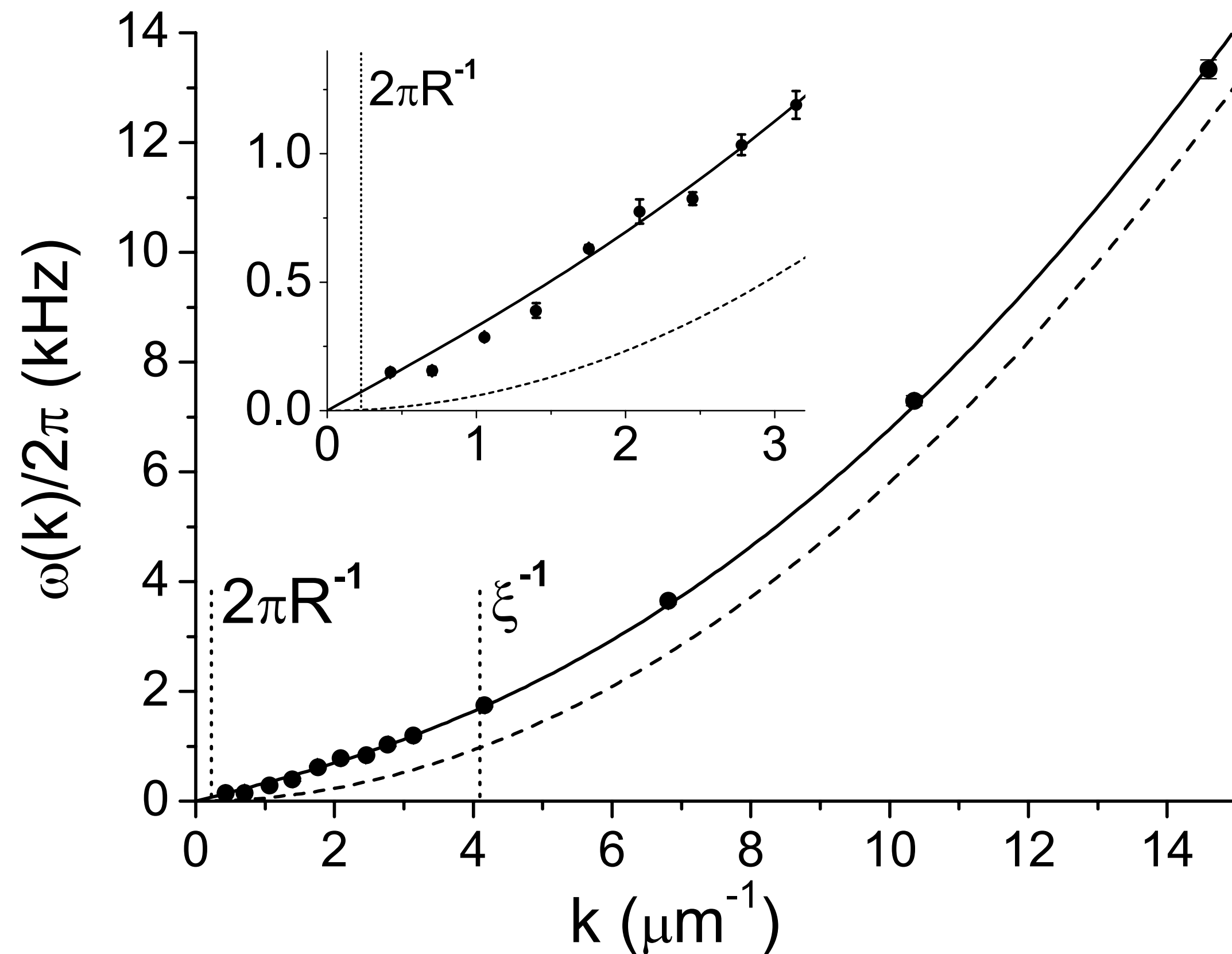
Steinhauer et al., PRL 88, 120407 (2002)



Le transfert de moment k est varié de 0.4 à $15 \mu\text{m}^{-1}$
 $k\xi$ varie de 0.1 (phonons) à 4 (particules libres)

Mesure du spectre de Bogoliubov (2)

Steinhauer et al., PRL 88, 120407 (2002)

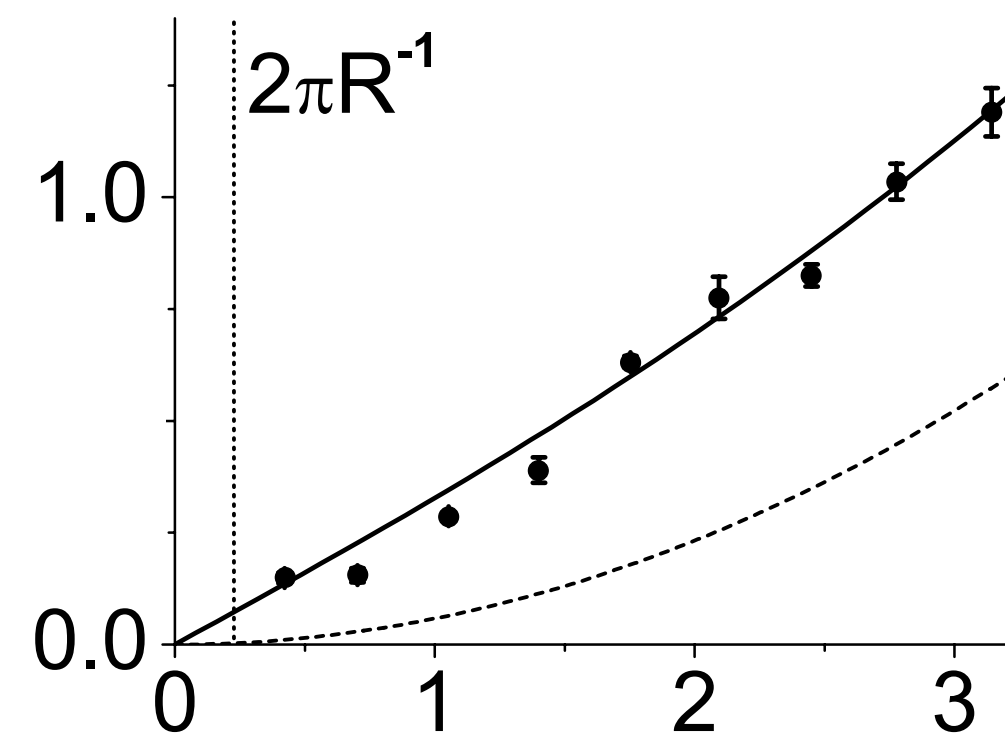


Accord quantitatif avec la théorie de Bogoliubov

phonons $\hbar\omega_k \approx \hbar ck$ $k \ll 1/\xi$

particules libres $\hbar\omega_k \approx \epsilon_k + gn$ $k \gg 1/\xi$

Effets au delà du champ moyen ?



Dans le régime de phonons

$$\omega_k = ck$$

avec

$$c = \sqrt{\frac{1}{m} \left(\frac{\partial P}{\partial n} \right)_S}$$

On a vu que

$$P = - \left(\frac{\partial E}{\partial L^3} \right)_{S,N} = \frac{1}{2} gn^2 \left(1 + \frac{3}{2} \alpha \sqrt{na^3} + \dots \right)$$

$$\alpha = 128/15\sqrt{\pi}$$

On en déduit la modification de la vitesse du son par les effets au delà du champ moyen :

$$c = \sqrt{\frac{gn}{m}} \left[1 + \frac{8}{\sqrt{\pi}} \sqrt{na^3} \right]$$

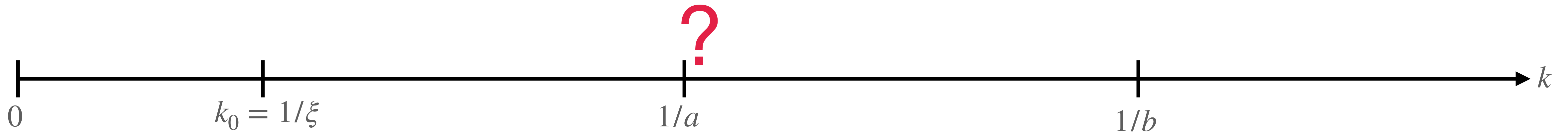
Pas d'expérience à ce jour sur les gaz de Bose dilués

Excitations de grande impulsion $\hbar k$

Boulder, 2008 : Papp, Pino *et al*, PRL 101, 135301

Cambridge, 2017 : Lopes, Eigen *et al*, PRL 118, 210401

Utilisation d'une résonance de Fano-Feshbach pour avoir $a \gg b$: $b \sim 5$ nm, $a \sim 50$ nm, $\xi \sim 500$ nm

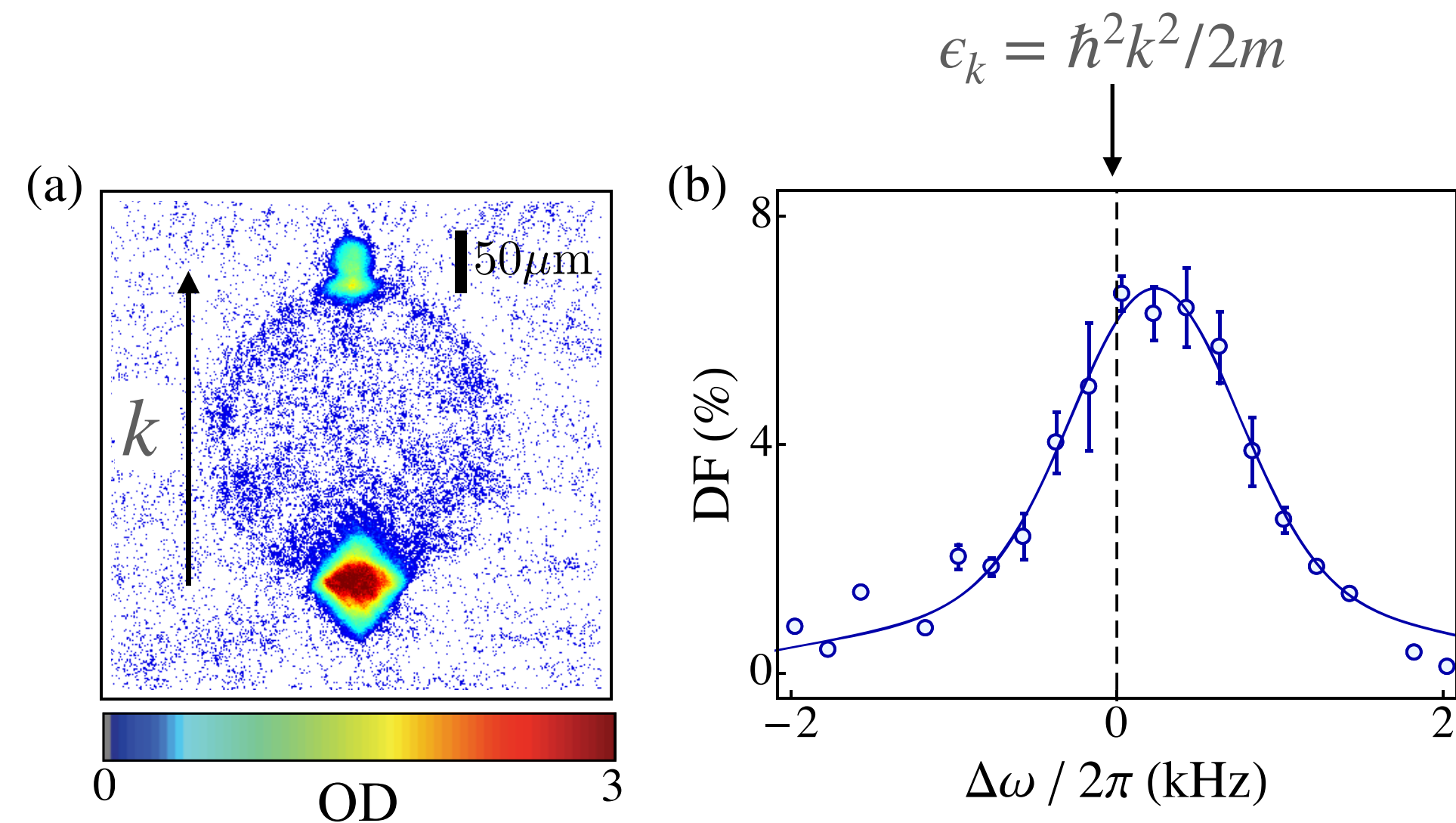


Spectroscopie de Bragg sur un gaz uniforme

$$n = 2 \times 10^{12} \text{ cm}^{-3} \quad \sqrt{na^3} = 0.016$$

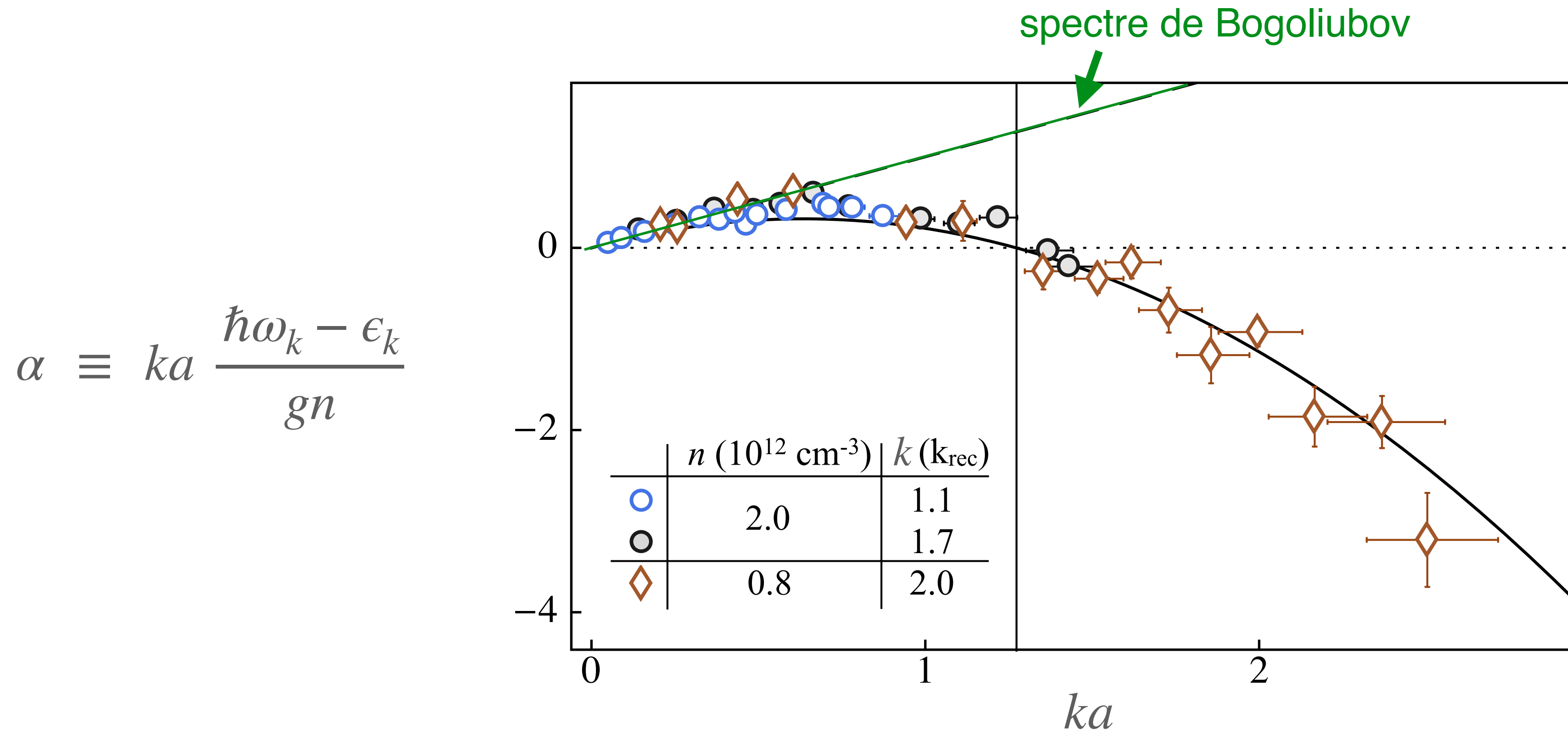
Halo de collisions en onde s bien visible

On s'intéresse au décalage entre le maximum de la raie et ϵ_k



Résultats de l'expérience de Cambridge

Lopes, Eigen *et al*, PRL 118, 210401



Pour le spectre de Bogoliubov dans le régime “particule libre”:

$$\hbar\omega_k \approx \epsilon_k + gn$$

et donc :

$$\alpha = ka$$

Le décalage entre $\hbar\omega_k$ et ϵ_k s'annule pour $ka \approx 1.3$, puis devient négatif

Les résultats antérieurs du groupe de Boulder sont en bon accord avec ceux-ci

Retour vers l'approche de Beliaev

Pour remplacer \tilde{V}_0 par $g = 4\pi\hbar^2 a/m$, il faut décrire précisément l'interaction entre l'atome d'impulsion $\hbar\mathbf{k}$ et les atomes du condensat, d'impulsion nulle

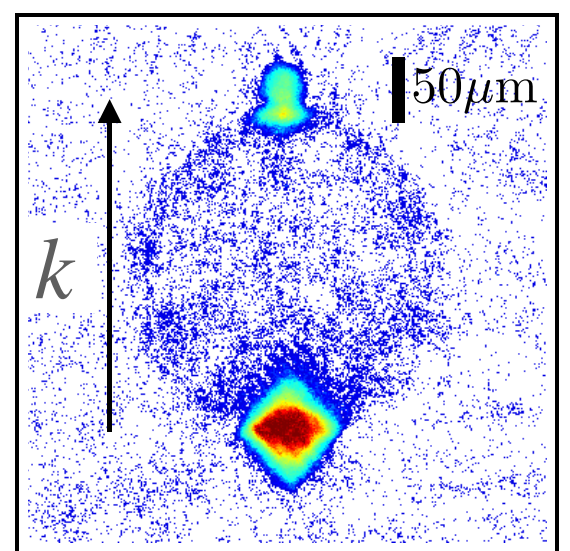
Cela fait apparaître l'amplitude de diffusion $f(k_r)$ avec $k_r = k/2$ $\xrightarrow{\text{basse énergie}}$ $f(k_r) = -a$

Mais pour $k \sim 1/a$, on quitte le domaine de basse énergie : $f(k_r) \approx \frac{-a}{1 + ik_r a}$

→ Partie réelle : $\frac{-a}{1 + (ka/2)^2}$ *doit être pris en compte dans le bilan énergétique pour la création d'une impulsion*

→ Partie imaginaire : *durée de vie limitée pour les excitations* $\hbar\Gamma_k \sim gn ka$

Γ_k^{-1} *comparable à la durée de la phase de spectroscopie de Bragg*

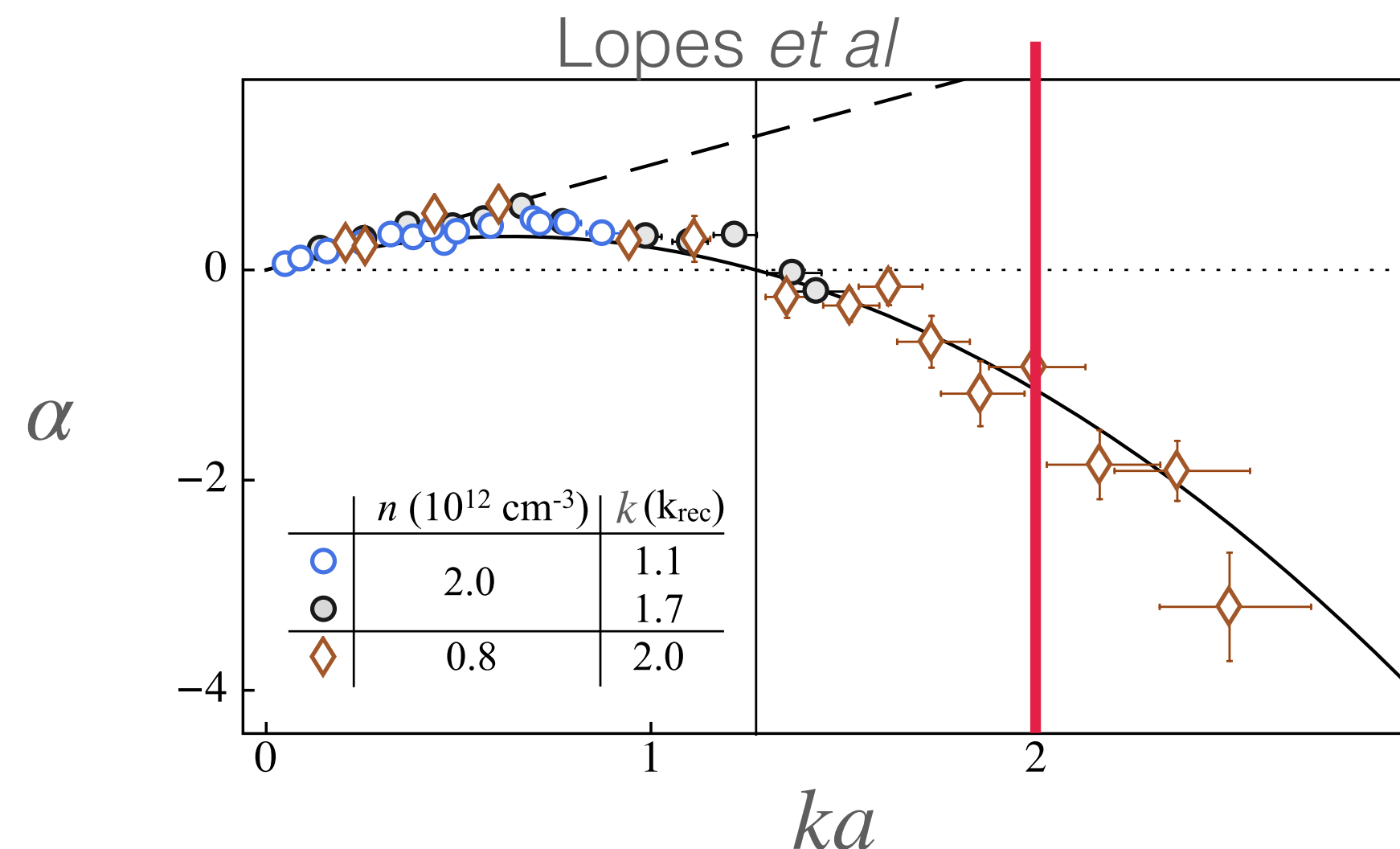


Une explication des expériences de Boulder & Cambridge ?

Le bilan énergétique dans le régime “particules libres” doit être modifié :

$$\hbar\omega_k = \left(\epsilon_k + \underset{\substack{\uparrow \\ \text{direct +} \\ \text{échange}}}{2gn} \right) - \underset{\substack{\uparrow \\ \text{direct}}}{gn} \quad \longrightarrow \quad \hbar\omega_k = \left(\epsilon_k + \frac{2gn}{1 + (ka/2)^2} \right) - gn$$

Cela conduit à l'égalité $\hbar\omega_k = \epsilon_k$ pour $ka = 2$. Ce n'est pas ce qui est observé !



Le même désaccord émerge pour les données de Boulder :

Hoffmann & Zwerger, 2017 : While the densities are in good agreement with the values quoted in Ref. [19], the fitted Bragg wavelength is too small by a factor of almost 2 compared to $\lambda=780 \text{ nm}$ in Ref. [19].

[19] : Papp *et al*

Une autre piste : la formule de Feynman

Feynman, 1954



Calcul du centre de gravité de la raie $\bar{\omega}(\mathbf{k}) = \frac{\int_{-\infty}^{+\infty} \omega \Gamma(\mathbf{k}, \omega) d\omega}{\int_{-\infty}^{+\infty} \Gamma(\mathbf{k}, \omega) d\omega}$

Le taux Γ est calculé par la règle d'or de Fermi pour la perturbation

$$\hat{V}(t) = \hat{V}^{(+)} e^{-i\omega t} + \text{H.c.} \quad \hat{V}^{(+)} = \hbar\kappa \sum_{j=1}^N e^{i\mathbf{k}\cdot\hat{\mathbf{r}}_j} \longleftrightarrow \hat{V}^{(+)} = \hbar\kappa \sum_{\mathbf{k}'} a_{\mathbf{k}+\mathbf{k}'}^\dagger a_{\mathbf{k}'}$$

Numérateur : $\int_{-\infty}^{+\infty} \omega \Gamma(\mathbf{k}, \omega) d\omega = 2\pi\kappa^2 N \frac{\hbar k^2}{2m}$

résultat exact, indépendant des interactions (f-sum rule)

Dénominateur : $\int_{-\infty}^{+\infty} \Gamma(\mathbf{k}, \omega) d\omega = 2\pi\kappa^2 N S(k)$

$$S(k) = 1 + n \int [g_2(r) - 1] e^{-i\mathbf{k}\cdot\mathbf{r}} d^3r$$

Facteur de structure statique

La fonction $g_2(r)$ et le facteur de structure $S(k)$

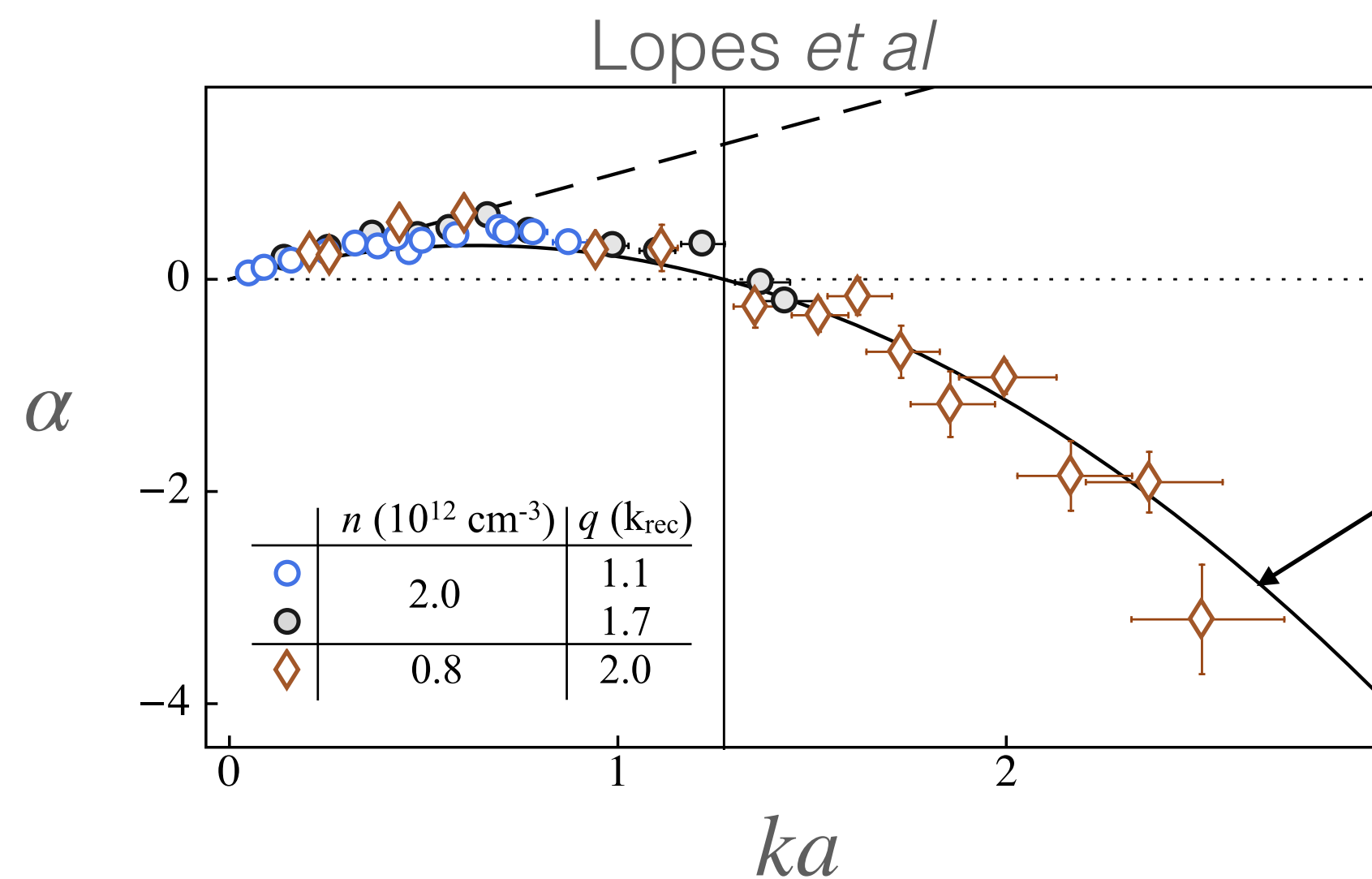
$$S(k) = 1 + n \int [g_2(r) - 1] e^{-ik \cdot r} d^3r$$

Lee, Huang et Yang (1957) ont calculé $g_2(r)$

Résultat à courte distance ($r \ll \xi$): $g_2(r) \approx \left(1 - \frac{a}{r}\right)^2 + \mathcal{O}(a/\xi) \approx 1 - \frac{2a}{r} + \frac{a^2}{r^2}$

Transformée de Fourier ($k \gg 1/\xi$): $S(k) \approx 1 - \frac{1}{k^2 \xi^2} + \frac{2\pi^2 n a^2}{k} = 1 - \frac{1}{k^2 \xi^2} \left(1 - \frac{\pi}{4} k a\right)$

On en déduit le centre de gravité de la raie : $\hbar \bar{\omega}(k) = \frac{\epsilon_k}{S(k)} \approx \epsilon_k \left[1 + \frac{1}{k^2 \xi^2} \left(1 - \frac{\pi}{4} k a\right)\right]$



$$\bar{\alpha} = ka \frac{\hbar \bar{\omega}_k - \epsilon_k}{gn} = ka \left(1 - \frac{\pi}{4} ka\right) \quad \frac{\epsilon_k}{k^2 \xi^2} = gn$$

“point de croisement” $\hbar \bar{\omega}_k = \epsilon_k$ en $ka = 4/\pi \approx 1.3$

Problème résolu ? pas vraiment ...

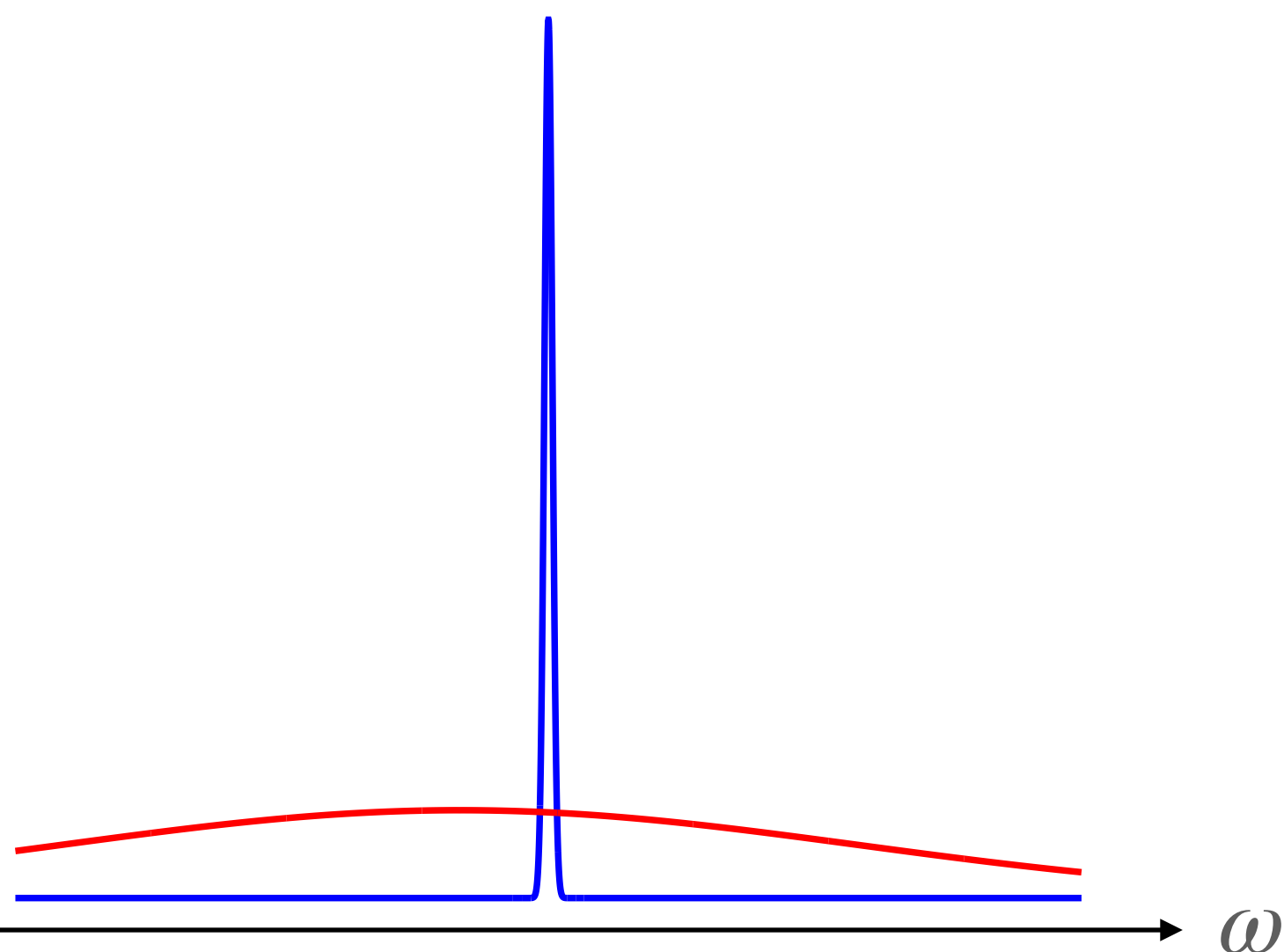
Les ingrédients derrière la formule de Feynman

Le calcul de $\Gamma(\mathbf{k}, \omega)$ par la règle d'or de Fermi : opérateur $\hat{V}^{(+)} = \hbar\kappa \sum_{k'} a_{k+k'}^\dagger a_{k'}$

$$a_{k+k'}^\dagger, a_{k'} = \sqrt{N_0} \quad \text{ou} \quad u_{|k+k'|} b_{k+k'}^\dagger - v_{|k+k'|} b_{-k-k'}$$

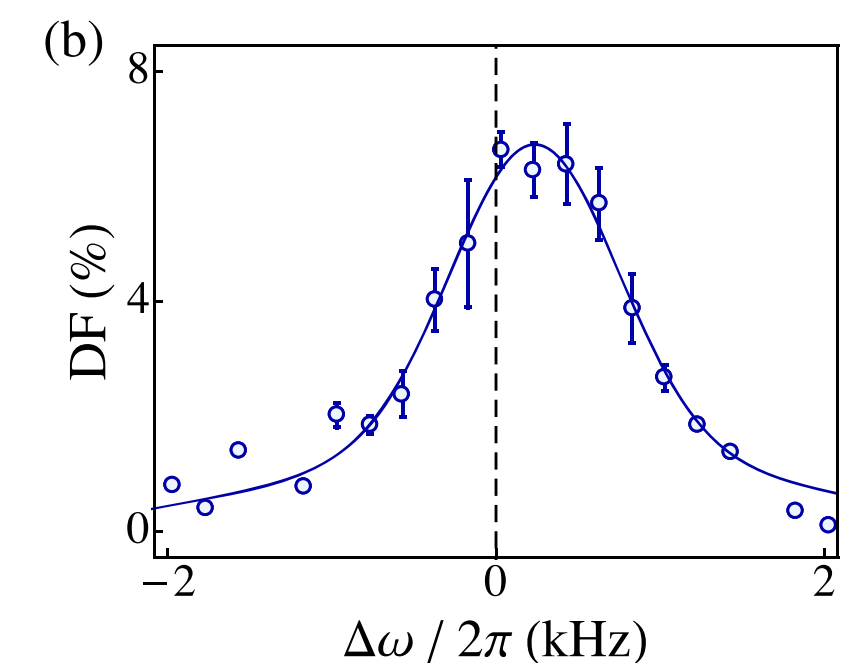
$$u_{k'} b_{k'} - v_{k'} b_{-k'}$$

- Processus à une excitation : $\delta[\omega_k - \omega]$ = le pic étroit étudié jusqu'ici
- Processus à deux excitations : $\sum_{k'} \dots \delta[\omega_{|k+k'|} + \omega_{k'} - \omega]$ = un piédestal beaucoup plus large



La formule de Feynman donne le centre de gravité de cette structure à deux composantes

Que mesure-t-on dans l'expérience, compte tenu de la durée de vie finie des excitations ?



Plan du cours

1. Mesures de l'énergie de Lee-Huang-Yang

Le problème des pertes à trois corps, mode de respiration et équation d'état

2. Le spectre d'excitation d'un condensat

Le régime "habituel" $ka \ll 1$: phonons vs. particule libre

Le régime $ka \sim 1$: un problème encore ouvert ...

3. Les gouttelettes quantiques

Comment rendre l'énergie LHY dominante tout en restant à basse densité ?

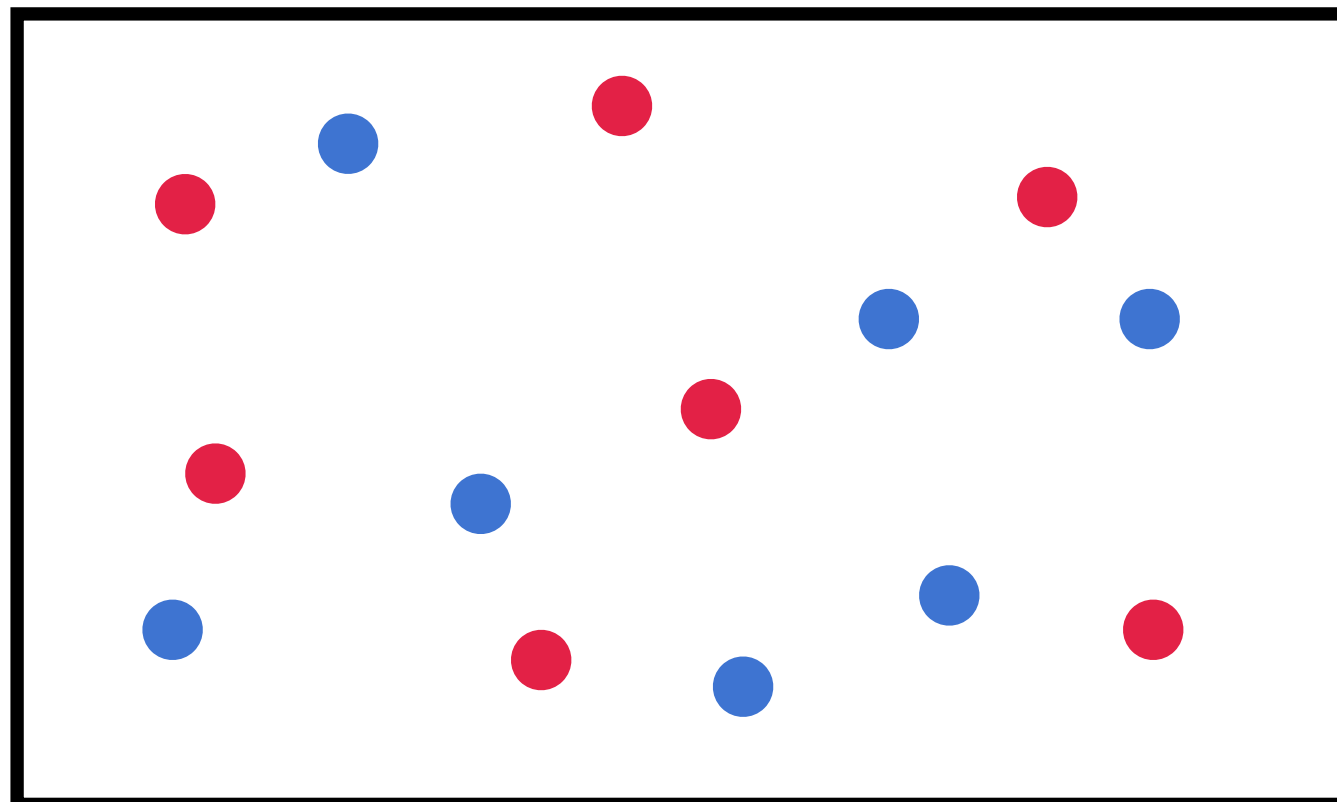
Comment augmenter l'effet des fluctuations quantiques ?

Point de départ :
$$E_0 = \frac{gN^2}{2V} \left[1 + \alpha \sqrt{na^3} + \dots \right] = \frac{gN^2}{2V} + \frac{\alpha}{(4\pi)^{3/2}} \frac{m^{3/2}}{\hbar^3} \frac{(gN)^{5/2}}{V^{3/2}}$$
 $V \equiv L^3$: volume

où le paramètre $\sqrt{na^3}$ est par hypothèse petit.

Sur le plan expérimental, on ne peut pas augmenter na^3 en raison des pertes à trois corps

Peut-on diminuer le terme de champ moyen $\frac{gN^2}{2V}$ sans affecter le terme LHY ?



Oui, en utilisant par exemple un mélange binaire !

D. Petrov, PRL 115, 155302



On a marché sur la Lune
Hergé

La stabilité d'un mélange binaire

Interactions de champ moyen caractérisées par trois paramètres

● ● : g_{11}

● ● : g_{22}

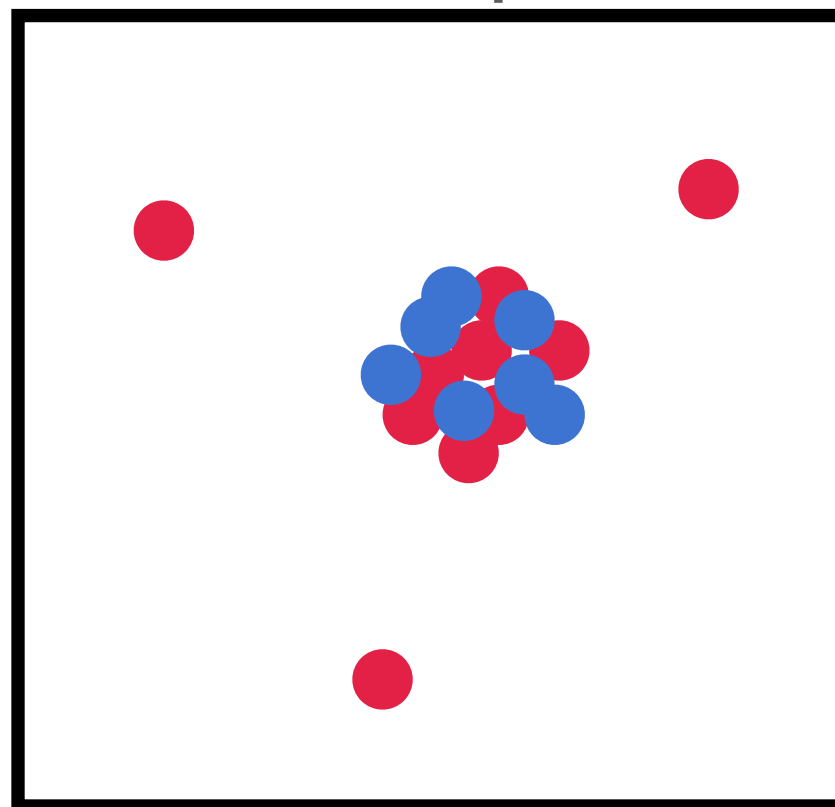
● ● : g_{12}

On suppose que chaque sous-système 1 ou 2 est stable quand il est seul : $g_{11} > 0$, $g_{22} > 0$

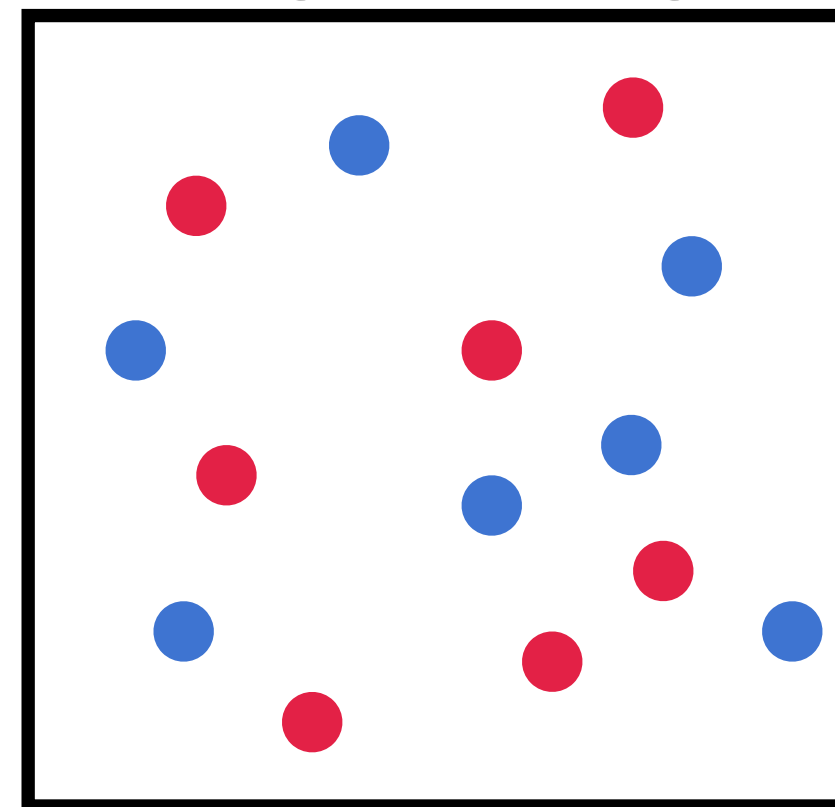
En revanche, g_{12} peut être positif ou négatif

Quel est l'état d'équilibre du système ?

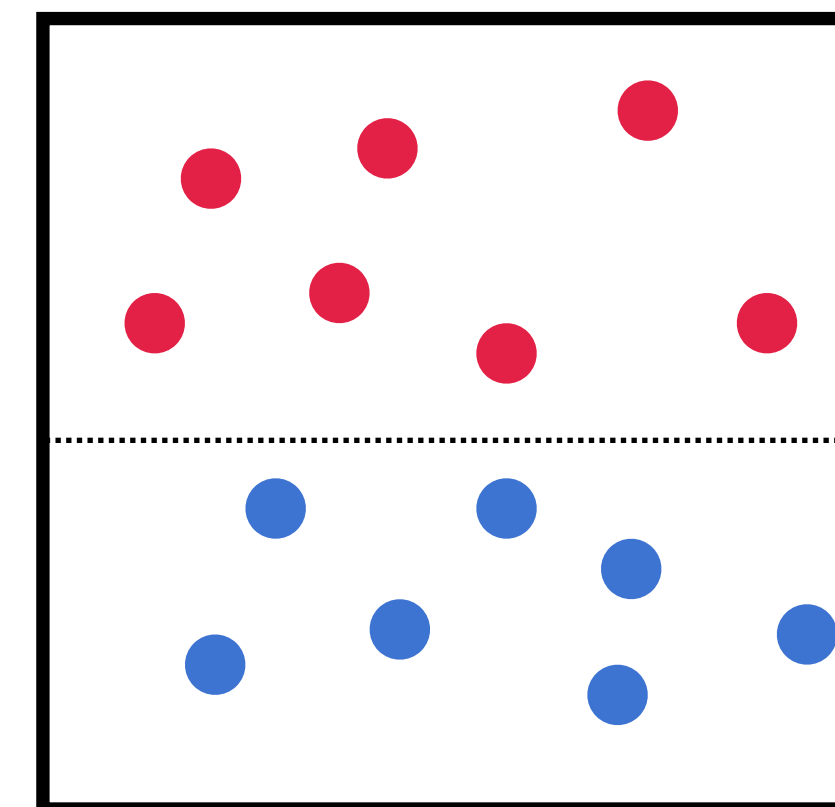
collapse



mélange homogène



non miscible



volume V_2

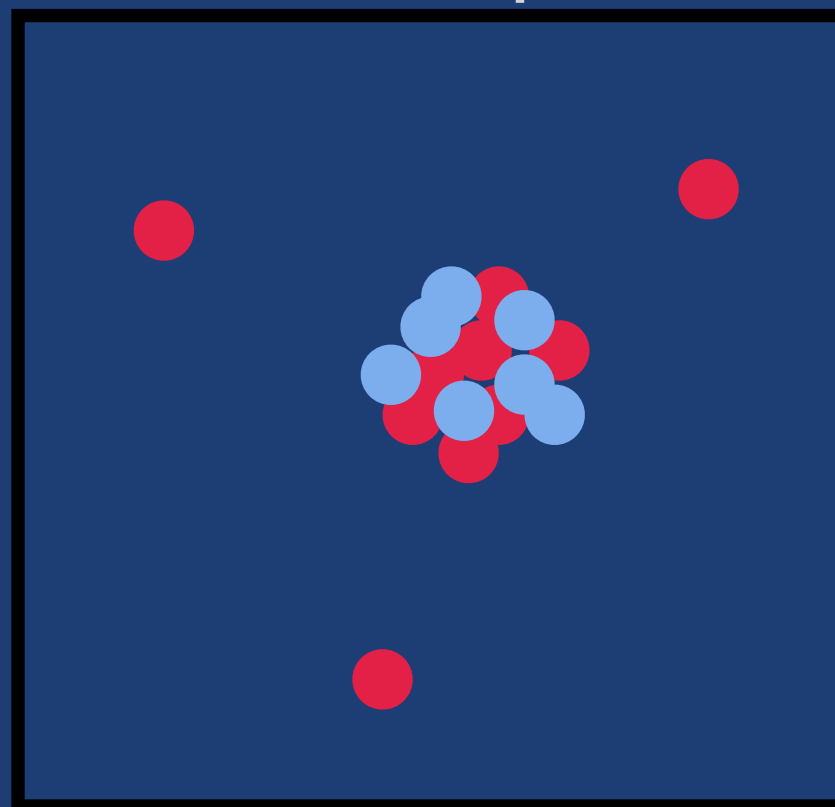
volume V_1

● ● : g_{11}

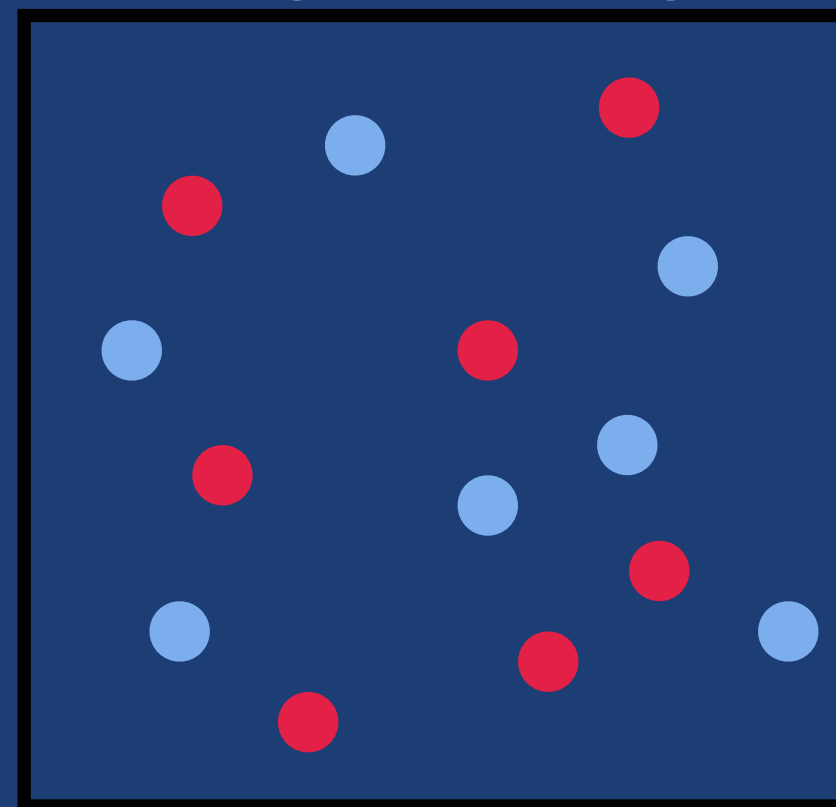
● ● : g_{22}

● ● : g_{12}

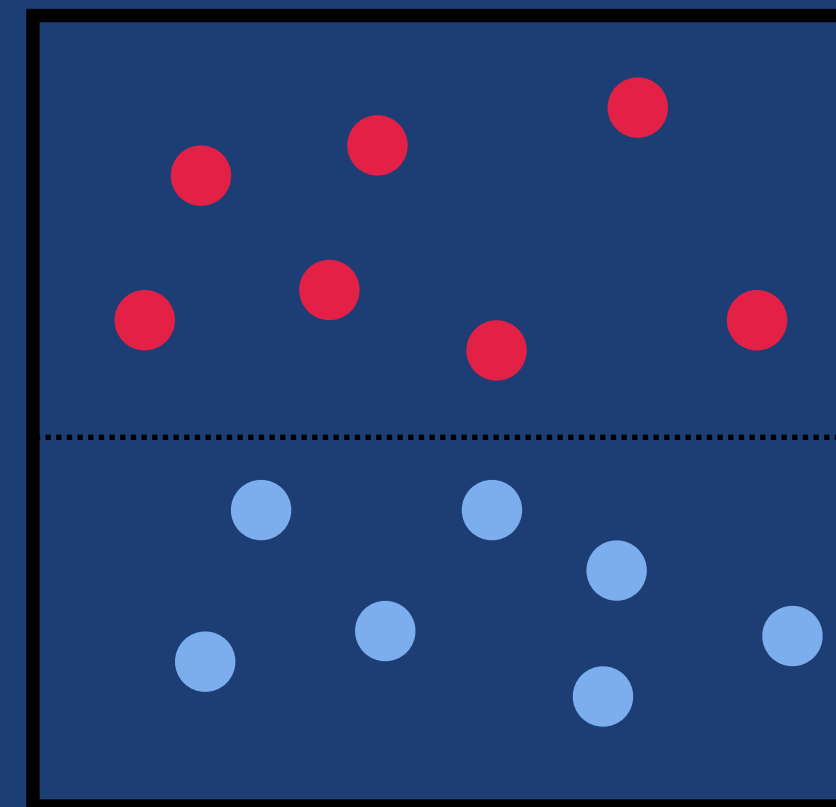
collapse



mélange homogène



non miscible



volume V_2

volume V_1

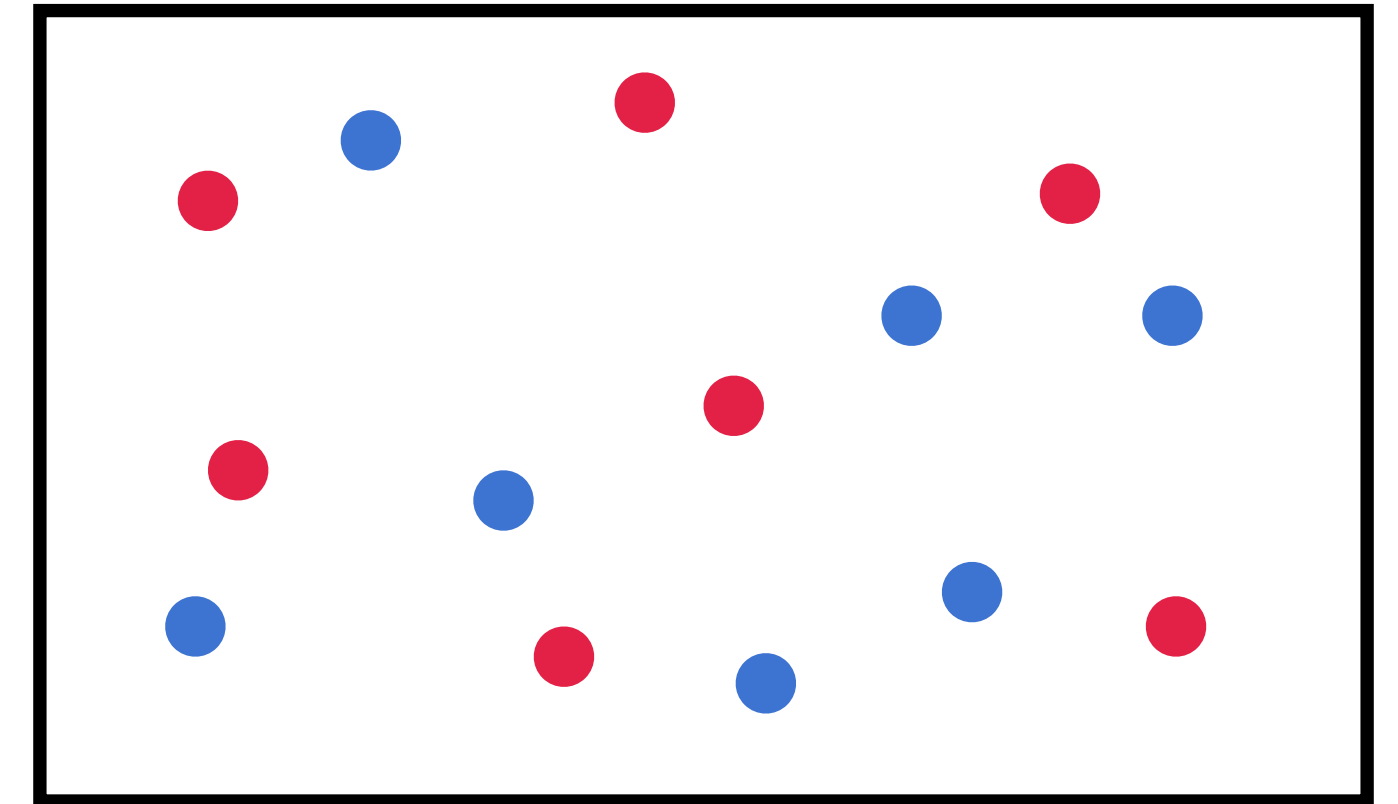
L'énergie LHY d'un mélange

On prend pour simplifier $g_{11} = g_{22} \equiv g$

On se place sur la ligne minimisante $N_1 = N_2$ et on choisit $g_{12} \approx -g$ (voisinage du collapse)

On trouve (Larsen, 1963) :

$$E_{\text{LHY}} = \frac{8}{15\pi^2} \frac{m^{3/2}}{\hbar^3} \frac{(gN)^{5/2}}{V^{3/2}}$$

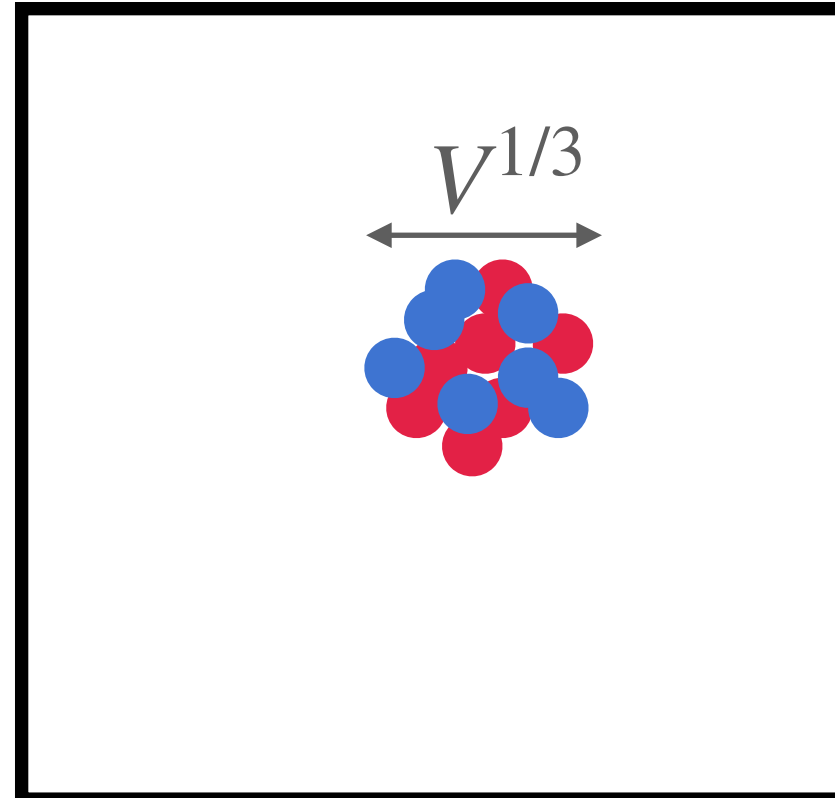
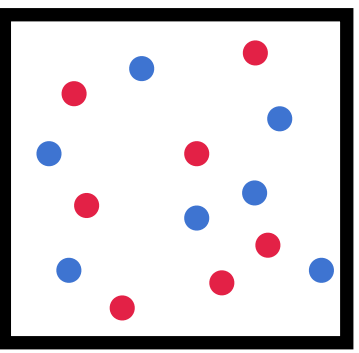


toujours positif

Valeur “ordinaire” pour l'énergie LHY : pas de réduction significative liée au choix $g_{12} \approx -g$, contrairement à l'énergie de champ moyen qui est fortement diminuée

La compétition entre champ moyen et énergie LHY peut alors avoir lieu, même si $na^3 \ll 1$

Les énergies en compétition pour $\delta g < 0$



Trois contributions à l'énergie totale :

$$+\frac{N\hbar^2}{mV^{2/3}}$$

énergie cinétique
de confinement
(Heisenberg)

tend à comprimer
le nuage d'atomes

$$-|\delta g|\frac{N^2}{2V}$$

énergie de
champ moyen

tendent à dilater
le nuage d'atomes

$$+\frac{m^{3/2}}{\hbar^3}\frac{(gN)^{5/2}}{V^{3/2}}$$

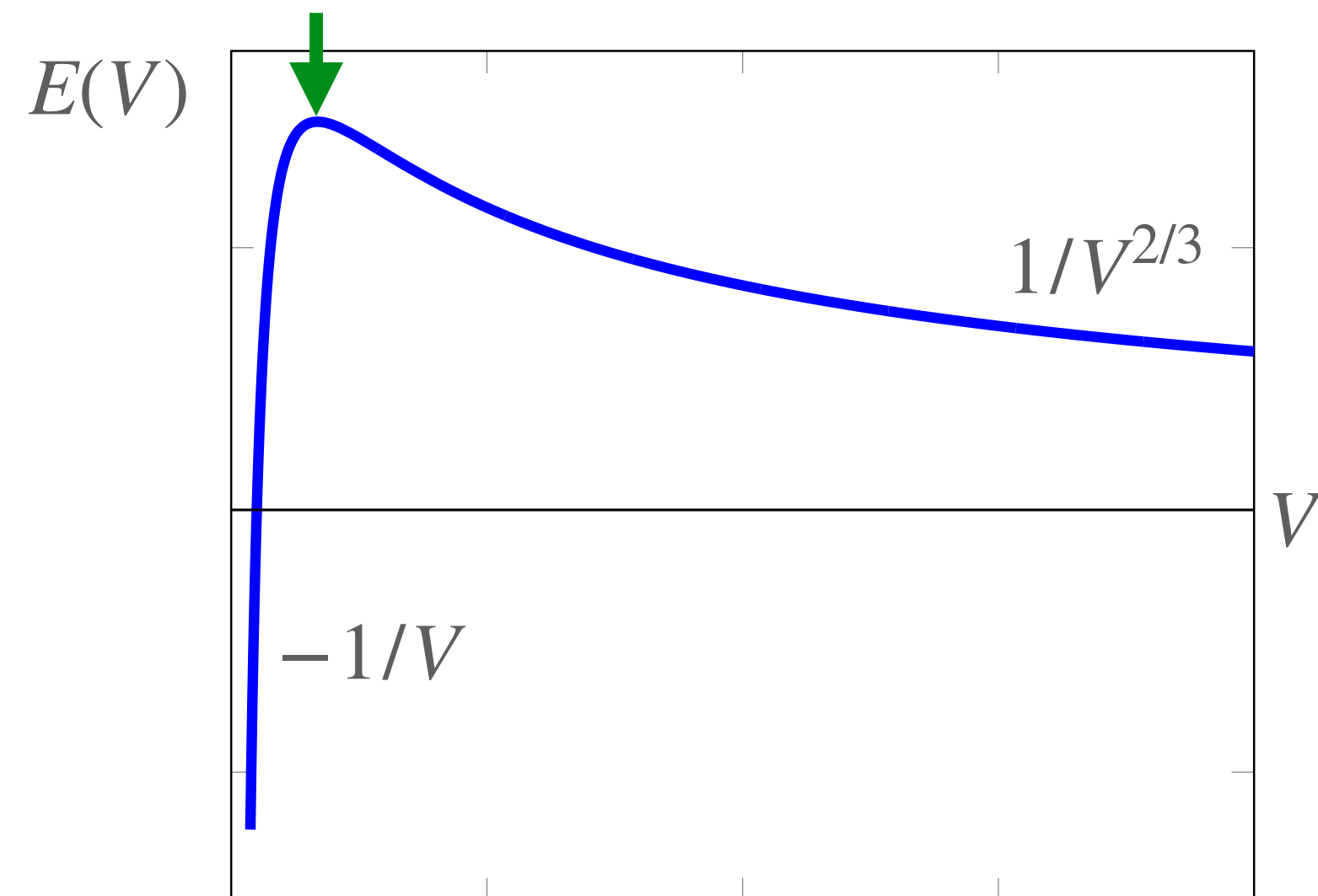
énergie LHY
pour le mélange

1. Compétition énergie de champ moyen - énergie cinétique
2. Compétition énergie de champ moyen - énergie LHY

Les deux compétitions possibles

Compétition énergie cinétique - énergie de champ moyen

$$+\frac{N\hbar^2}{mV^{2/3}} \quad -|\delta g|\frac{N^2}{2V}$$

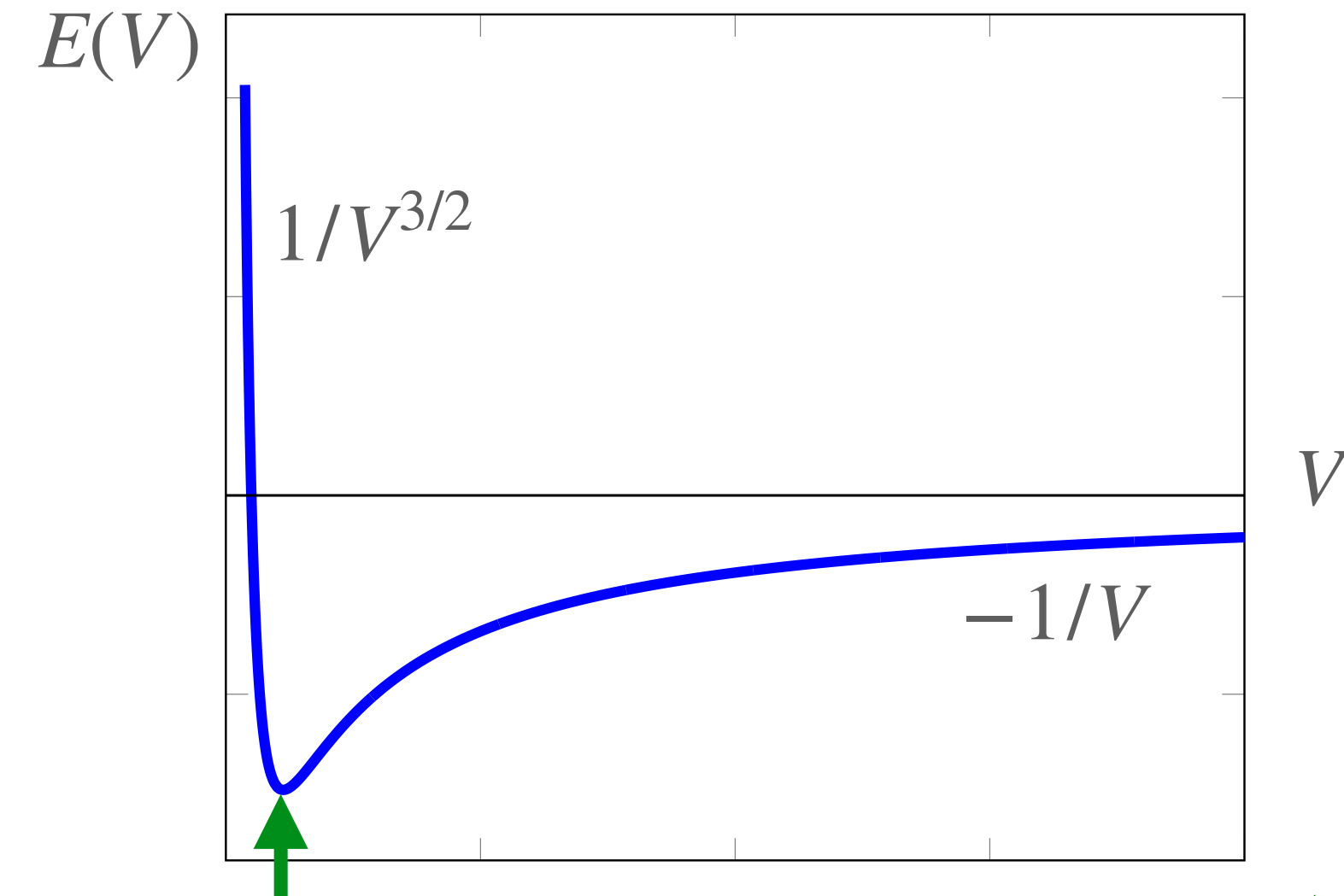


Equilibre dynamiquement instable

Marcherait à 1D (solitons) car le chp. moyen est alors en $1/V^{1/3}$

Compétition énergie de champ moyen - énergie LHY

$$-|\delta g|\frac{N^2}{2V} \quad +\frac{m^{3/2}}{\hbar^3} \frac{(gN)^{5/2}}{V^{3/2}}$$



Equilibre stable avec $n \equiv \frac{N}{V} \sim \left(\frac{\delta g}{g}\right)^2 \frac{1}{a^3}$

Objet de densité constante (indépendante de N) : "liquide"
 $na^3 = (\delta g/g)^2 \ll 1$: valide *a posteriori* l'utilisation de LHY

Les deux types de plateformes expérimentales

Pour abaisser l'énergie de champ moyen

- Mélange + contrôle de δg par une résonance de Fano-Feshbach

Barcelone, Florence, Beijing

Barcelone : étude de la transition soliton - gouttelette dans une géométrie quasi 1D

- Atomes avec un grand dipôle magnétique

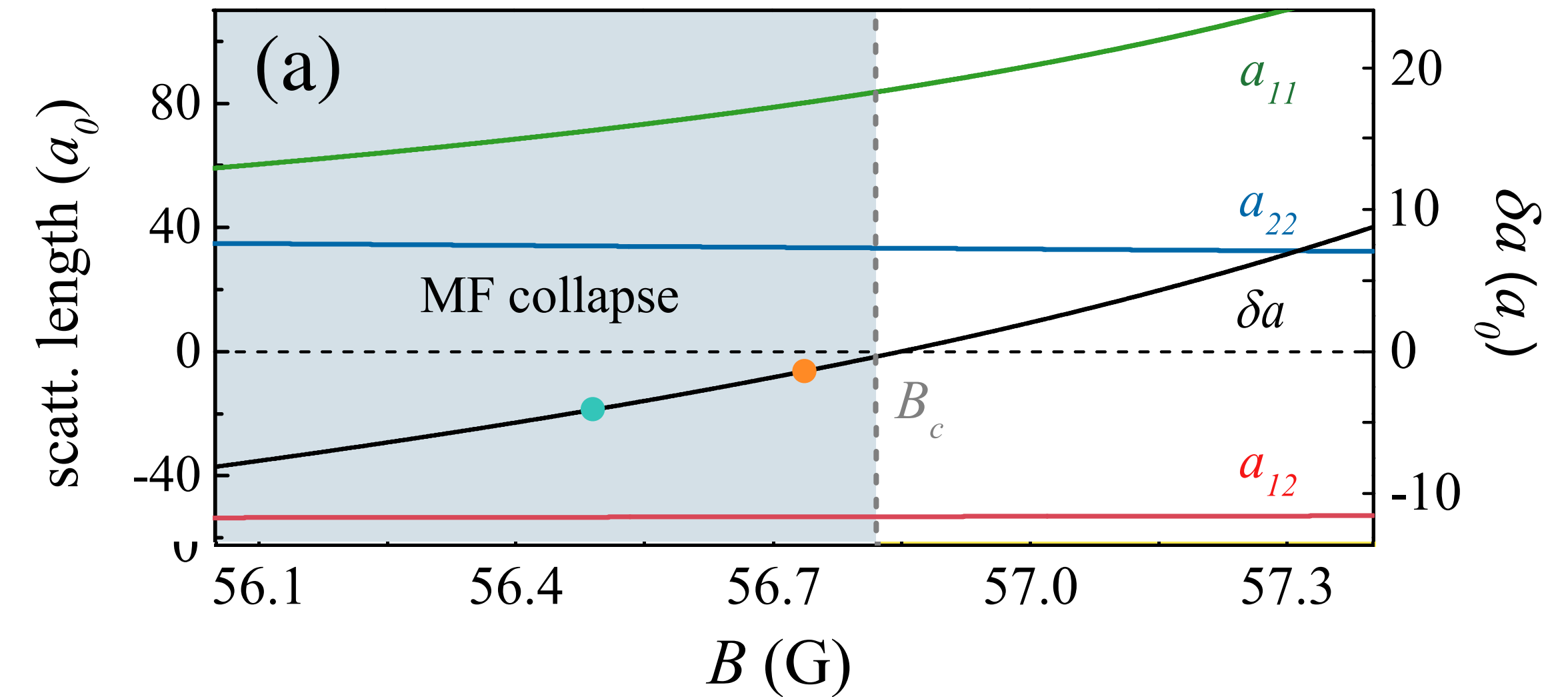
Le terme de champ moyen contient à la fois les interactions en onde s et les interaction magnétiques

Stuttgart, Innsbruck, Florence

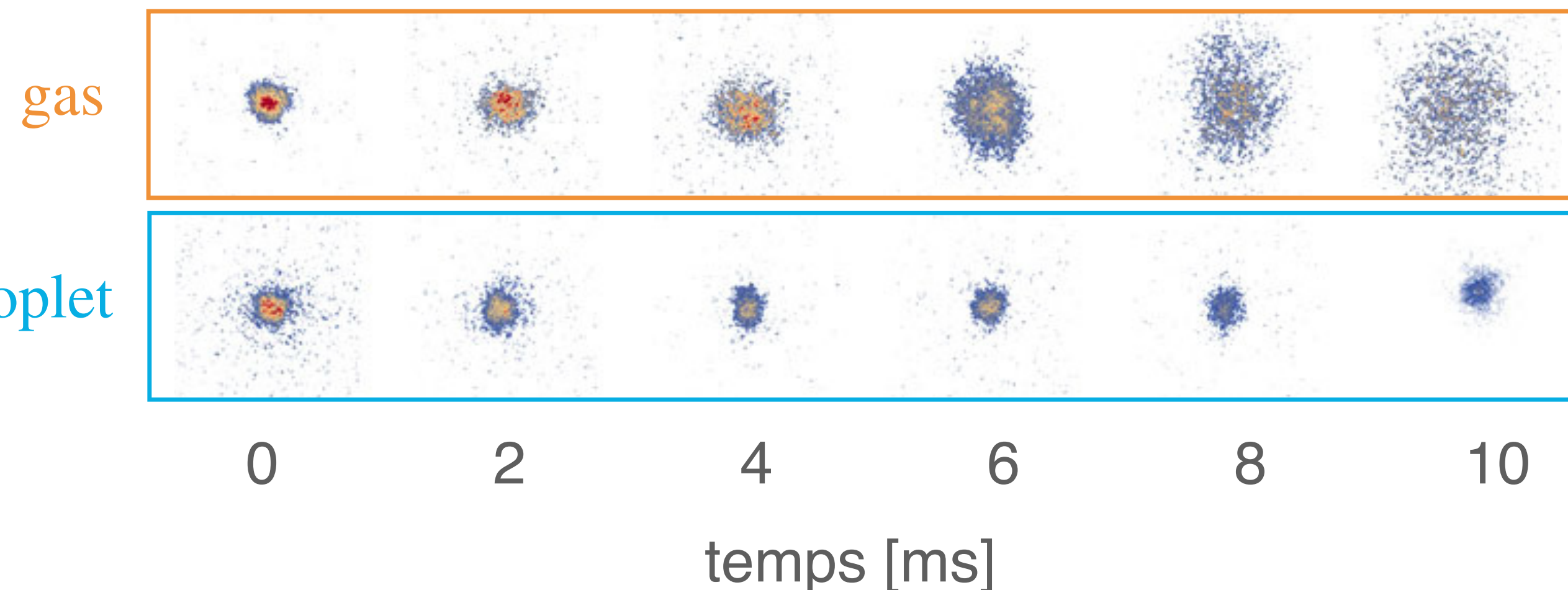
L'expérience de Florence

Semeghini et al., PRL 120, 235301 (2018)
[groupe de M. Fattori]

^{39}K dans les deux états internes $|F = 1, m = -1\rangle$
et $|F = 1, m = 0\rangle$, avec $B \sim 57$ G



On commence avec $N \sim 200\,000$ atomes, taille *r.m.s.* $\sim 2\ \mu\text{m}$, qu'on lâche dans l'espace libre



$|\delta g|$ petit : énergie cinétique significative,
pas d'équilibre stable

$|\delta g|$ plus grand : énergie cinétique négligeable,
équilibre stable entre champ moyen et LHY

En résumé

Traitement détaillé de l'état fondamental du gaz de Bose et de ses excitations élémentaires (k, ω_k)

Approche limitée au cas d'une interaction faible $\sqrt{na^3} \ll 1$

Accord quantitatif théorie-expérience, au moins tant que $ka \ll 1$

Pour le potentiel de contact, singularité pour le calcul de l'énergie cinétique, lié à $\bar{n}_k \propto 1/k^4$

But du séminaire d'aujourd'hui et des prochains cours :

Que peut-on dire si on quitte le régime d'interaction faible ?

La loi en $\bar{n}_k \propto 1/k^4$ va nous servir de fil directeur...